

KAISERL. AKADEMIE DER WISSENSCHAFTEN IN WIEN.

MITTEILUNGEN
DER
ERDBEBEN-KOMMISSION

DER KAISERLICHEN
AKADEMIE DER WISSENSCHAFTEN IN WIEN.

NEUE FOLGE.

N^{o.} XX.

ERDBEBENSTÖRUNGEN ZU TRIEST,
BEOBACHTET AM REBEUR-EHLERT'SCHEN HORIZONTALPENDEL IM
JAHRE 1902

VON
EDUARD MAZELLE,
REFERENT DER ERDBEBEN-KOMMISSION.

MIT 4 TEXTFIGUR.

WIEN, 1903.
AUS DER KAISERLICH-KÖNIGLICHEN HOF- UND STAATSDRUCKEREL
IN KOMMISSION BEI KARL GEROLD'S SOHN,
BUCHHÄNDLER DER KAISERLICHEN AKADEMIE DER WISSENSCHAFTEN.

KAISERL. AKADEMIE DER WISSENSCHAFTEN IN WIEN.

MITTEILUNGEN

DER

ERDBEBEN-KOMMISSION

DER KAISERLICHEN

AKADEMIE DER WISSENSCHAFTEN IN WIEN.

NEUE FOLGE.

N^o. XX.

ERDBEBENSTÖRUNGEN ZU TRIEST,

BEOBACHTET AM REBEUR-EHLERT'SCHEN HORIZONTALPENDEL IM

JAHRE 1902

VON

EDUARD MAZELLE,

REFERENT DER ERDBEBEN-KOMMISSION.

MIT 1 TEXTFIGUR.

WIEN, 1903.

AUS DER KAISERLICH-KÖNIGLICHEN HOF- UND STAATSDRUCKEREI.

IN KOMMISSION BEI KARL GEROLD'S SOHN,

BUCHHÄNDLER DER KAISERLICHEN AKADEMIE DER WISSENSCHAFTEN.

XVII. Erdbebenstörungen in Triest, beobachtet am Nebov-Höhen des Hor-
 zontals von 1. März bis Ende Dezember 1898, von Eduard Mazelle
 (Sitz. Ber., Bd. 100 [1899], Abt. I, Heft II) K 60 h.
 XVIII. Allgemeiner Bericht und Chronik der im Jahre 1899 innerhalb des Beob-
 achtungsgebietes erfolgten Erdbeben, zusammengefaßt von Edmund v.
 Mojsisovics (Sitz. Ber., Bd. 100 [1899], Abt. I, Heft III) 3 K 30 h.
 XIX. Die tägliche periodische Schwankung des Erdbodens nach den Anzei-
 gen der Wasserstände in der Gegend von Triest.

Die »Mitteilungen der Erdbeben-Kommission« erschienen bisher in den Sitzungsberichten der mathem.-naturw. Klasse, Abteilung I. Von nun an werden sie als besondere Ausgabe veröffentlicht werden.

Bisher sind folgende Nummern der »Mitteilungen« ausgegeben worden:

- I. Bericht über die Organisation der Erdbeben-Beobachtung nebst Mitteilungen über während des Jahres 1896 erfolgte Erdbeben, zusammengestellt von Edmund v. Mojsisovics (Sitz. Ber., Bd. 106 [1897], Abt. I, Heft II) — K 60 h.
- II. Bericht über das Erdbeben von Brüx am 3. November 1896, von Friedrich Becke (Sitz. Ber., Bd. 106 [1897], Abt. I, Heft II) — K 50 h.
- III. Bericht über das Erdbeben vom 5. Jänner 1897 im südlichen Böhmerwalde, von Friedrich Becke (Sitz. Ber., Bd. 106 [1897], Abt. I, Heft III) — K 40 h.
- IV. Bericht über die im Triester Gebiete beobachteten Erdbeben am 15. Juli, 3. August und 21. September 1897, von Eduard Mazelle (Sitz. Ber., Bd. 106 [1897], Abt. I, Heft IX) — K 40 h.
- V. Allgemeiner Bericht und Chronik der im Jahre 1897 innerhalb des Beobachtungsgebietes erfolgten Erdbeben, zusammengestellt von Edmund v. Mojsisovics (Sitz. Ber., Bd. 107 [1898], Abt. I, Heft V) 3 K 40 h.
- VI. Die Erderschütterungen Laibachs in den Jahren 1851 bis 1886, vorwiegend nach den handschriftlichen Aufzeichnungen K. Deschmanns, von Ferdinand Seidl (Sitz. Ber., Bd. 107 [1898], Abt. I, Heft VI) — K 50 h.
- VII. Verhalten der Karlsbader Thermen während des voigtländisch-westböhmisches Erdbebens im Oktober—November 1897, von Josef Knett (Sitz. Ber., Bd. 107 [1898], Abt. I, Heft VI) 2 K 60 h.
- VIII. Bericht über das Graslitzer Erdbeben vom 24. Oktober bis 25. November 1897, von Friedrich Becke (Sitz. Ber., Bd. 107 [1898], Abt. I, Heft VII) 5 K 40 h.
- IX. Bericht über die unterirdische Detonation von Melnik in Böhmen vom 8. April 1898, von Johann N. Woldfich (Sitz. Ber., Bd. 107 [1898], Abt. I, Heft X) — K 90 h.
- X. Allgemeiner Bericht und Chronik der im Jahre 1898 innerhalb des Beobachtungsgebietes erfolgten Erdbeben, zusammengestellt von Edmund v. Mojsisovics (Sitz. Ber., Bd. 108 [1899], Abt. I, Heft IV) 3 K 20 h.
- XI. Die Einrichtung der seismischen Station in Triest und die vom Horizontalpendel aufgezeichneten Erdbebenstörungen von Ende August 1898 bis Ende Februar 1899, von Eduard Mazelle (Sitz. Ber., Bd. 108 [1899], Abt. I, Heft V) 1 K — h.
- XII. Übersicht der Laibacher Osterbebenperiode für die Zeit vom 16. April 1895 bis Ende Dezember 1898, von Ferdinand Seidl (Sitz. Ber., Bd. 108 [1899], Abt. I, Heft V) — K 70 h.
- XIII. Bericht über das obersteierische Beben vom 27. November 1898, von Rudolf Hoernes (Sitz. Ber., Bd. 108 [1899], Abt. I, Heft V) 1 K 10 h.
- XIV. Bericht über die obersteierischen Beben des ersten Halbjahres 1899 (zumal über die Erschütterungen vom 1., 7. und 29. April), von Rudolf Hoernes (Sitz. Ber., Bd. 108 [1899], Abt. I, Heft VIII) 2 K 10 h.
- XV. Bericht über Erdbebenbeobachtungen in Kremsmünster, von Franz Schwab (Sitz. Ber., Bd. 109 [1900], Abt. I, Heft II) 1 K 10 h.
- XVI. Bericht über das niederösterreichische Beben vom 11. Juni 1899, von F. Noë (Sitz. Ber., Bd. 109 [1900], Abt. I, Heft II) — K 60 h.

- XVII. Erdbebenstörungen zu Triest, beobachtet am Rebeur-Ehlert'schen Horizontalpendel vom 1. März bis Ende Dezember 1899, von Eduard Mazelle (Sitz. Ber., Bd. 109 [1900], Abt. I, Heft II) — K 90 h.
- XVIII. Allgemeiner Bericht und Chronik der im Jahre 1899 innerhalb des Beobachtungsgebietes erfolgten Erdbeben, zusammengestellt von Edmund v. Mojsisovics (Sitz. Ber., Bd. 109 [1900], Abt. I, Heft III) 3 K 30 h.
- XIX. Die tägliche periodische Schwankung des Erdbodens nach den Aufzeichnungen eines dreifachen Horizontalpendels zu Triest, von Eduard Mazelle (Sitz. Ber., Bd. 109 [1900], Abt. I, Heft VII) 3 K 20 h.
- XX. Über die Beziehungen zwischen Erdbeben und Detonationen, von Josef Knett (Sitz. Ber., Bd. 109 [1900], Abt. I, Heft IX) — K 80 h.
- XXI. Bericht über das Detonationsphänomen im Duppauer Gebirge am 14. August 1899, von Josef Knett (Sitz. Ber., Bd. 109 [1900], Abt. I., Heft IX) 1 K — h.

Neue Folge.

- I. Bericht über die Erdbebenbeobachtungen in Lemberg, von W. Láška 1 K 90 h.
- II. Allgemeiner Bericht und Chronik der im Jahre 1900 im Beobachtungsgebiete eingetretenen Erdbeben, von Edmund v. Mojsisovics 2 K 30 h.
- III. Bericht über die seismischen Ereignisse des Jahres 1900 in den deutschen Gebieten Böhmens, von V. Uhlig 2 K 50 h.
- IV. Bericht über die Erdbebenbeobachtungen in Kremsmünster im Jahre 1900, von P. Franz Schwab — K 60 h.
- V. Erdbebenstörungen zu Triest, beobachtet am Rebeur-Ehlert'schen Horizontalpendel im Jahre 1900, von Eduard Mazelle 1 K — h.
- VI. Das nordostböhmisches Erdbeben vom 10. Jänner 1901, von J. N. Woldřich 1 K 60 h.
- VII. Erdbeben und Stoßlinien Steiermarks, von R. Hoernes 2 K 10 h.
- VIII. Die Erdbeben Polens. Des historischen Teiles I. Abteilung, von W. Láška — K 80 h.
- IX. Bericht über die Erdbeben-Beobachtungen in Lemberg während des Jahres 1901, von Prof. Dr. W. Láška 1 K 10 h.
- X. Allgemeiner Bericht und Chronik der im Jahre 1901 innerhalb des Beobachtungsgebietes erfolgten Erdbeben von Edmund v. Mojsisovics 1 K 10 h.
- XI. Erdbebenstörungen zu Triest, beobachtet am Rebeur-Ehlert'schen Horizontalpendel im Jahre 1901, nebst einem Anhang über die Aufstellung des Vicentini'schen Mikroseismographen, von Eduard Mazelle 1 K 20 h.
- XII. Bericht über die Erdbebenbeobachtungen in Kremsmünster im Jahre 1901, von Prof. P. Franz Schwab — K 40 h.
- XIII. Das Erdbeben von Saloniki am 5. Juli 1902 und der Zusammenhang der makedonischen Beben mit den tektonischen Vorgängen in der Rhodopemasse, von R. Hoernes 2 K — h.
- XIV. Über die Berechnung der Fernbeben, von Prof. Dr. W. Láška — K 30 h.
- XV. Die mikroseismische Pendelunruhe und ihr Zusammenhang mit Wind und Luftdruck, von Eduard Mazelle 2 K 60 h.
- XVI. Vorläufiger Bericht über das erzgebirgische Schwarmbeben vom 13. Februar bis 25. März 1903, mit einem Anhang über die Nacherschütterungen bis Anfang Mai, von J. Knett — K 80 h.
- XVII. Das Erdbeben von Sinj am 2. Juli 1898, von Adolf Faidiga 2 K 90 h.
- XVIII. Das Erdbeben am Böhmischem Pfahl, von J. Knett — K 80 h.
- XIX. Allgemeiner Bericht und Chronik der im Jahre 1902 im Beobachtungsgebiete eingetretenen Erdbeben, von Edmund v. Mojsisovics. (Mit einem Anhang: Bericht über die Aufstellung zweier Seismographen in Přibram, von Dr. Hans Benndorf.) 2 K 60 h.

Erdbebenstörungen zu Triest,

beobachtet am Rebeur-Ehlerl'schen Horizontalpendel im
Jahre 1902

von

Eduard Mazelle,

Referent der Erdbeben-Kommission der kaiserl. Akademie der Wissenschaften.

(Mit 1 Textfigur.)

(Vorgelegt in der Sitzung am 2. Juli 1903.)

Die hier vorliegenden Erdbebenstörungen des Jahres 1902 bilden die Fortsetzung der in den Mitteilungen¹ der Erdbeben-Kommission der kaiserl. Akademie der Wissenschaften in Wien seit Ende August 1898 bereits veröffentlichten Ergebnisse aus den Aufzeichnungen des am k. k. astronomisch-meteorologischen Observatorium zu Triest aufgestellten photographisch registrierenden Horizontalpendels.

Die im Jahre 1902 vorgenommenen täglichen Ablesungen des Psychrometers ergeben ähnliche Verhältnisse wie in den vorangehenden Jahren.

Als Fortsetzung der in den früheren Mitteilungen veröffentlichten Temperaturtabellen folgen hier die Ablesungen für jeden fünften Tag.

¹ Ed. Mazelle, Mitteilungen der Erdbeben-Kommission Nr. XI, XVII, XIX, wie auch V, XI, XV neue Folge.

Temperaturen im Horizontalpendel-Raume.

Ablesung 12^h mittags.

1902, Jänner	1....12°4	1902, Juni	5....15°2
	6....12·2		10....15·8
	11....11·9		15....15·8
	16....11·2		20....16·0
	21....11·2		25....16·4
	26....11·1		30....16·8
	31....10·2		
		Juli	5....17·5
Februar	5....10·0		10....18·1
	10....10·4		15....18·3
	15....10·6		20....19·0
	20....10·2		25....19·1
	25....10·4		30....19·2
		August	4....19·4
März	2....10·8		9....19·8
	7....10·8		14....19·4
	12....10·8		19....19·4
	17....10·8		24....19·6
	22....11·1		29....19·6
	27....11·3		
		September	3....19·8
April	1....11·6		8....20·2
	6....12·0		13....20·0
	11....12·2		18....19·6
	16....12·7		23....18·6
	21....13·4		28....18·4
	26....13·9		
		Oktober	3....18·2
Mai	1....13·4		8....18·0
	6....13·6		13....18·0
	11....13·6		18....17·6
	16....13·5		23....16·8
	21....12·6		28....15·9
	26....13·8		
	31....14·4		

1902, November	2....15°4	1902, Dezember	2....12°1
	7....15·4		7....11·0
	12....15·1		12....10·4
	17....14·0		17....10·4
	22....12·4		22....10·3
	27....12·0		27....10·2

Die Temperatur schwankte zwischen 9·8° und 20·2°, hielt sich demnach zwischen den bereits aus den früheren Beobachtungen gezogenen Grenzen 9·0° und 20·8°.

Die Veränderlichkeit der Temperatur von einem Tage zum anderen ist auch im Jahre 1902 sehr klein, erreicht im Mittel nur 0·13°. Die größte Veränderlichkeit betrug 1·1°, doch wurde diese nur einmal beobachtet, während gar keine Änderung von einem Mittag zum anderen an 127 Tagen vorkam und eine Veränderlichkeit von nur 0·1° an 126 Tagen. Es ist mithin eine Veränderlichkeit der Temperatur von 0·0° und 0·1° 253mal zu konstatieren gewesen, demnach bei 69% sämtlicher Beobachtungstage.

Die Mittel der Veränderlichkeit der Temperatur für die einzelnen Dekaden sind nachfolgende:

1902, Jänner:	1. Dekade.....0°06
	2. »0·11
	3. »0·12
Februar:	1. »0·24
	2. »0·16
	3. »0·09
März:	1. »0·07
	2. »0·04
	3. »0·07
April:	1. »0·12
	2. »0·10
	3. »0·12
Mai:	1. »0·24
	2. »0·11
	3. »0·26

1902, Juni:	1. Dekade	0°14
	2. »	0·10
	3. »	0·08
Juli:	1. »	0·13
	2. »	0·13
	3. »	0·09
August:	1. »	0·10
	2. »	0·08
	3. »	0·09
September:	1. »	0·13
	2. »	0·12
	3. »	0·10
Oktober:	1. »	0·05
	2. »	0·11
	3. »	0·15
November:	1. »	0·07
	2. »	0·27
	3. »	0·20
Dezember:	1. »	0·27
	2. »	0·12
	3. »	0·11

Die relative Feuchtigkeit der Luft im Horizontalpendelkeller schwankte zwischen 68% und 100%. Der letztgenannte Wert wurde nur einmal beobachtet.

Die Schwingungsdauer beträgt bei

Pendel N.....	8·77 ^s
V.....	8·28 ^s
E.....	8·82 ^s

wozu bemerkt werden soll, daß Pendel *E* in der Richtung E—W liegt, demnach Pendel *N* bei W 60° N und Pendel *V* bei W 60° S aufgestellt sind.

Aus dieser Schwingungsdauer ergeben sich für die drei Pendel nachfolgende Reduktionsgrößen:

Neigungsänderung der Pendelachse bei Bewegung des Lichtpunktes um 1 mm.

Pendel N....	0·031"
V....	0·037"
E....	0·031"

Nach Ausmessung der Seismogramme auf Zehntelmillimeter wurde für jede einzelne Störung die hauptsächlich durch die variable Kontraktion des Papiers nach erfolgter photographischer Entwicklung hervorgerufene verschiedene Stundenlänge in Berücksichtigung gezogen und die Zeitangaben auf Hundertelminuten umgerechnet. Die mittlere Stundenlänge resultiert mit 43·47 mm, daher 0·1 mm = 0·138^m. Ferner wurde die durch künstliche Ablendung von Fall zu Fall bestimmte Parallaxe der Lichtpunkte, wie auch die Korrektion für den Blendenfall zur Stundenmarkierung in Rechnung gebracht.

Die nach den regelmäßigen Zeitbestimmungen des Observatoriums täglich vorgenommenen Vergleiche der Walzenuhr des Seismographen ergaben einen zufriedenstellenden Gang.

Die Lichtquelle, eine kleine Gasflamme, bewährte sich ganz gut.

Die Zeitangaben sind in mitteleuropäischer Zeit gehalten. Die Stunden laufen von Mitternacht zu Mitternacht. Die Amplituden der Schwingungen beziehen sich auf die ganze Ausschlagsweite.

Da das Ende einer Störung kaum genau angegeben werden kann, so sind die hier für das Ende des Bebens mitgeteilten Dezimalen der Minute nur als Rechnungsergebnisse der einzelnen Korrektionsgrößen zu betrachten.

Die zur Anwendung gelangten Abkürzungen sind wie in den früheren Jahren die nachfolgenden:

- B. Beginn der Störung.
- Max. Maximum.
- M₁, M₂, M₃ .. Erstes, zweites, drittes... Maximum der Störung.
- E. Ende der Störung.
- A^m Größter Ausschlag.

A, Amplitude, beziehungsweise mittlere Amplitude.

A_1, A_2, A_3 ... Ausschlag des ersten, zweiten, dritten... Maximums.

> Plötzliches Anschwellen der Bewegung, darauffolgende allmähliche Abnahme.

(> Sehr rasches Anwachsen und allmähliche Abnahme der Bewegung.

<> Langsame Zu- und Abnahme.

Bei der täglichen Bedienung der Seismographen, wie auch bei den ersten Ablesungen der Kurven leisteten ihre Mithilfe der Adjunkt des Observatoriums, Herr Ingenieur Faidiga, und der Hilfsbeamte Herr Bartosch.

Nr. 1. 1. Jänner 1902:

Knotenförmige Bildung.

N... B. $6^h 32^m 50$; M_1 $6^h 35^m 25$, A_1 $1 \cdot 4$ mm; E. $6^h 39^m 36$.

Beginn der Hauptstörung $6^h 42^m 11$, Aufzeichnung verschwindet, Pendel gelangt nach 8^h zur Ruhe.

V... Mikroseismisch bewegt.

E... » » »

Nr. 2. 2. Jänner 1902:

N... Von $15^h 25^m 80$ bis $15^h 28^m 98$ zwei knotenförmige Bildungen, A_m $1 \cdot 0$ mm.

V... Tagsüber mikroseismisch bewegt.

E... » » »

Nr. 3. 3. Jänner 1902:

(> N... B. $22^h 30^m 22$; Aufzeichnung undeutlich; Maximum der Anschwellung erreicht eine *A* von $1 \cdot 7$ mm; E. $22^h 54^m 97$.

V... Tagsüber unruhig.

E... » » »

Nr. 4. 9. Jänner 1902:

(> N... B. $1^h 11^m 37$; M_1 $1^h 16^m 95$, A_1 $2 \cdot 4$ mm;
 M_2 $1^h 20^m 85$, A_2 $3 \cdot 4$ mm;
 M_3 $1^h 30^m 34$, A_3 $4 \cdot 4$ mm;
Max. $1^h 34^m 39$, A_m $4 \cdot 5$ mm;
 M_5 $1^h 40^m 39$, A_5 $3 \cdot 2$ mm;
 M_6 $1^h 45^m 97$, A_6 $3 \cdot 2$ mm;
 M_7 $2^h 1^m 32$, A_7 $2 \cdot 0$ mm; E. $2^h 13^m 88$.

V... B. $1^h 13^m 02$; Max. $1^h 14^m 56$, A_m $1 \cdot 8$ mm;

M_2 $1^h 23^m 76$, A_2 $1 \cdot 3$ mm;

M_3 $1^h 32^m 08$, A_3 $1 \cdot 4$ mm.

E. wegen andauernder mikroseismischer Unruhe nicht bestimmbar.

E... B. $1^h 11^m 34$; mikroseismisch unruhig.

Nr. 5. 12. Jänner 1902:

(> N... B. $23^h 39^m 29$; M_1 $23^h 39^m 99$, A_1 $1 \cdot 3$ mm;
 M_2 $23^h 48^m 77$, A_2 $2 \cdot 7$ mm;
Max. $23^h 55^m 19$, A_m $6 \cdot 7$ mm;

hierauf Abnahme; vom 13. Jänner $0^h 18^m 78$ an eine neue Anschwellung mit Max. bei $0^h 22^m 21$ und $0^h 26^m 05$, A_m $2 \cdot 5$ mm; E. $0^h 31^m 13$.

V... Mikroseismische Unruhe sowohl vorausgehend als auch folgend; verschiedene Maxima, darunter

M_1 $23^h 49^m 17$, A_1 $1 \cdot 0$ mm;

M_2 $23^h 55^m 87$, A_2 $1 \cdot 5$ mm.

E... Tagsüber unruhig.

Nr. 6. 16. Jänner 1902:

<> N... B. $12^h 52^m 96$; Max. $12^h 56^m 27$, A_m $1 \cdot 5$ mm;
E. $13^h 15^m 63$.

V... Andauernde mikroseismische Unruhe.

E... » » »

E... B. 23^h 15^m66; Max. 23^h 19^m28, A_m 2.0 mm;
E. 23^h 36^m03.

B. 23^h 41^m89; Max. 23^h 43^m71, A_m 2.2 mm;
E. 24^h 2^m54.

23. Jänner:

B. 0^h 34^m88; Max. 0^h 36^m94, A_m 2.0 mm;
E. 0^h 52^m08.

Nr. 14. 23. Jänner 1902:

> N... B. 14^h 37^m11; Max. 14^h 38^m47, A_m 1.5 mm;
E. 14^h 58^m24.

V... Mikroseismische Unruhe den ganzen Tag anhaltend.

E... B. 14^h 37^m22; Max. 14^h 39^m40, A_m 3.8 mm;
E. 14^h 57^m13.

Nr. 15. 25. Jänner 1902:

(> N... B. 0^h 48^m56; M_1 0^h 49^m38, A_1 3.0 mm;

M_2 1^h 1^m34, A_2 4.8 mm;

Max. 1^h 13^m29, A_m 5.6 mm;

M_4 1^h 29^m94, A_4 4.8 mm;

M_5 1^h 46^m89, A_5 4.5 mm;

folgt eine Reihe schwacher Stöße mit A 2.0 mm
bis 3^h 0^m22; E. unbestimmbar.

V... Mikroseismische Unruhe.

E... » » »

Nr. 16. 28. Jänner 1902:

<> N... B. 19^h 52^m46; M_1 19^h 53^m56, A_1 1.6 mm;
Max. 20^h 5^m10, A_m 5.3 mm;

folgen schwächer werdende Stöße, bis um 20^h 20^m75
nur mehr A 1.2 mm, hierauf neuerliche Verstärkung mit A_m 2.0 mm; E. 21^h 9^m08.

V... Tagsüber mikroseismische Unruhe.

E... » » »

Nr. 17. 29. Jänner 1902:

(> N... B. 2^h 34^m27; M_1 2^h 38^m34, A_1 2.8 mm;

von 2^h 47^m03 bis 3^h 6^m58 eine Reihe fast gleichstarker Stöße mit A 3.5 mm; E. 3^h 43^m24.

V... Mikroseismische anhaltende Unruhe.

E... » » »

Nr. 18. 30. Jänner 1902:

<> N... B. 15^h 11^m84; M_1 15^h 14^m63, A_1 2.5 mm;

folgt eine große Reihe von Stößen, Aufzeichnung undeutlich. Von 16^h 12^m68 an zeigen die Schwingungen nur mehr A 2.0 mm; E. bei 17^h 5^m69.

V... B. 15^h 12^m38; M_1 15^h 13^m22, A_1 1.3 mm;

M_2 15^h 16^m01, A_2 1.5 mm;

Aufzeichnung wird undeutlich, bei 15^h 57^m87 wieder entnehmbar, jedoch mit nur A 1.0 mm; E. bei 16^h 34^m15.

E... B. unbestimmbar; M_1 15^h 15^m72, A_1 2.2 mm;

folgt eine Reihe gleichstarker Stöße; E. 16^h 2^m46.

Nr. 19. 31. Jänner 1902:

<> N... B. 2^h 53^m37; M_1 2^h 58^m14, A_1 3.0 mm;

Aufzeichnung wird undeutlich; E. 4^h 0^m19.

V... B. 2^h 53^m91; der weitere Verlauf durch mikroseismische Bewegung gestört.

E... Kontinuierliche Unruhe.

Nr. 20. 4. Februar 1902:

Das Vorhandensein einer Störung vor 1^h zwar ersichtlich, wegen Versagens des photographischen Papiers jedoch nicht ausmeßbar.

Nr. 21. 6. Februar 1902:

- (> N... B. 4^h 41^m65; Max. 4^h 43^m16, A_m 1.7 mm;
E. 4^h 53^m39.
V... Ruhig.
E... Kontinuierliche Unruhe vorangehend. Zur Zeit obiger Störung bemerkbar von 4^h 43^m41 bis 4^h 57^m73 eine Verdickung mit A_m 1.1 mm.

Nr. 22. 9. Februar 1902:

- > N... B. 8^h 55^m08; M_1 8^h 55^m90, A_1 2.2 mm;
 M_2 8^h 59^m44, A_2 6.3 mm;
Max. 9^h 7^m15, A_m 9.0 mm;
 M_4 9^h 14^m37, A_4 7.2 mm;
 M_5 9^h 28^m26, A_5 7.4 mm;
 M_6 9^h 41^m60, A_6 5.0 mm;
 M_7 9^h 47^m72, A_7 3.4 mm; E. 10^h 7^m16.

Zwischen 10^h 12^m72 und 10^h 47^m43 noch eine Anschwellung mit A_m 1.3 mm.

- V... B. 8^h 56^m03; M_1 8^h 57^m53, A_1 3.0 mm;
 M_2 9^h 5^m34, A_2 3.8 mm;
 M_3 9^h 8^m80, A_3 3.8 mm;
 M_4 9^h 13^m81, A_4 2.0 mm;

folgt eine ganze Reihe schwächerer Stöße.

- E... B. 8^h 55^m06; M_1 8^h 55^m74, A_1 1.5 mm;
Max. 8^h 59^m69, A_m 3.0 mm;
von 9^h 9^m07 noch eine Anschwellung bis 9^h 29^m90,
 A_m 1.2 mm.

Nr. 23. 9. Februar 1902:

- > N... B. 11^h 25^m66; M_1 11^h 26^m91, A_1 1.6 mm;
 M_2 11^h 30^m55, A_2 5.6 mm;
 M_3 11^h 35^m44, A_3 6.0 mm;
 M_4 11^h 50^m40, A_4 6.0 mm;
 M_5 12^h 0^m62, A_5 4.4 mm;
 M_6 12^h 7^m18, A_6 2.0 mm;
E. unbestimmbar.

- V... B. 11^h 26^m90; Max. 11^h 28^m30, A_m 3.4 mm;
 M_2 11^h 33^m33, A_2 2.0 mm;

hierauf mehrere fast gleichstarke Stöße; bei 12^h 1^m16 noch A 1.0 mm; E. unbestimmbar.

- E... B. 11^h 25^m62; M_1 11^h 26^m19, A_1 1.8 mm;
Max. 11^h 28^m84, A_m 4.8 mm;
 M_3 11^h 36^m39, A_3 2.3 mm;
 M_4 11^h 56^m67, A_4 1.6 mm;

E. unbestimmbar.

Nr. 24. 10. Februar 1902:

- N... Von 9^h 47^m12 bis 9^h 50^m57 Anschwellung, A 1.2 mm.
V... Von 9^h 49^m18 bis 9^h 51^m94 Anschwellung, A 1.0 mm.
E... Ruhig.

Nr. 25. 13. Februar 1902:

Die Aufzeichnung des ersten Teiles der Störung ist sehr un-
deutlich; entnehmbar ist nur:

- > N... B. 10^h 44^m66; nach deutlicher werdender Zeichnung:
 M_1 11^h 25^m22, A_1 2.6 mm;
 M_2 11^h 30^m10, A_2 4.0 mm;
 M_3 11^h 36^m80, A_3 3.8 mm;
Max. 11^h 41^m83, A_m 4.4 mm;
 M_5 11^h 49^m09, A_5 2.6 mm; E. 11^h 55^m36.

Vor 12^h 17^m folgt eine neuerliche Zunahme der
Pendelbewegung mit A_m 2.0 mm.

- V... B. 10^h 44^m92; Anmerkung wie oben:
 M_1 11^h 11^m67, A_1 3.0 mm;
Max. 11^h 19^m63, A_m 4.2 mm;
 M_3 11^h 28^m42, A_3 3.2 mm; E. 11^h 41^m95.
E... B. 10^h 44^m77; M_1 10^h 46^m57, A_1 2.0 mm;
Anmerkung wie oben:
 M_2 11^h 4^m68, A_2 3.0 mm;
 M_3 11^h 10^m95, A_3 3.0 mm; E. 11^h 41^m66.

Auch hier folgt neuerliche Zunahme der Pendel-
bewegung, A_m aber nur 1.0 mm.

Nr. 26. 13. Februar 1902:

N... Von 15^h 42^m54 bis 15^h 47^m01 Anschwellung,
 A 1.2 mm.

V... Von 15^h 38^m20 bis 15^h 44^m61 Anschwellung,
 A 0.9 mm.

E... Ruhig.

Nr. 27. 13. Februar 1902:

<> N... B. 17^h 36^m95; M_1 17^h 41^m92, A_1 1.8 mm;
 M_2 17^h 46^m63, A_2 1.8 mm;
Max. 17^h 53^m54, A_m 4.7 mm;
E. 18^h 11^m51.

V... B. 17^h 35^m96; M_1 17^h 42^m32, A_1 1.0 mm;
Max. 17^h 54^m08, A_m 1.7 mm;
E. 18^h 7^m90.

E... B. 17^h 34^m84; Max. 17^h 42^m73, A_m 1.9 mm;
E. 18^h 7^m61.

Nr. 28. 13. Februar 1902:

N... Zwischen 20^h 24^m79 und 20^h 39^m30 einige schwache
Anschwellungen, A_m 1.0 mm.

V... Von 20^h 26^m02 bis 20^h 36^m66 schwache Anschwel-
lungen, A_m 0.8 mm.

E... Ruhig.

Nr. 29. 14. Februar 1902:

> N... B. 0^h 32^m53; M_1 0^h 34^m19, A_1 2.2 mm;
Max. 0^h 40^m41, A_m 2.6 mm; E. 1^h 3^m23.

V... Ruhig.

E... Tagsüber mikroseismische Unruhe.

Nr. 30. 15. Februar 1902:

<> N... B. 10^h 15^m27; Max. 10^h 26^m36 bis 10^h 30^m24,
 A_m 1.8 mm; E. 10^h 53^m79.

V... Schwache Knotenbildungen.

E... Tagsüber mikroseismisch bewegt.

Nr. 31. 15. Februar 1902:

> N... B. 11^h 22^m06; M_1 11^h 22^m76, A_1 1.3 mm;
 M_2 11^h 26^m94, A_2 2.7 mm;
 M_3 11^h 31^m83, A_3 3.3 mm;
Max. 11^h 36^m72, A_m 4.2 mm;
 M_5 11^h 47^m60, A_5 2.3 mm;

E. durch Streifenabnahme gestört.

V... B. 11^h 22^m31; M_1 11^h 23^m30, A_1 1.0 mm;
Max. 11^h 37^m26, A_m 1.2 mm;
E. 11^h 41^m44.

E... Tagsüber mikroseismische Unruhe.

Nr. 32. 15. Februar 1902:

N... B. und E. unbestimmbar. Von 22^h 54^m82 bis
23^h 9^m75 stärkere Anschwellung; Max. 23^h 0^m49
mit A_m 3.7 mm.

V... Kontinuierliche Unruhe.

E... » »

Nr. 33. 17. Februar 1902:

Tagsüber äußerst starke mikroseismische Unruhe, infolge-
dessen B. und E. der seismischen Störung nicht angebar.

> N... Max. 1^h 53^m63, A_m 12.1 mm;
 M_2 2^h 1^m91, A_2 5.0 mm;
 M_3 2^h 7^m23, A_3 4.0 mm;
 M_4 2^h 18^m92, A_4 4.5 mm;
 M_5 2^h 32^m21, A_5 6.5 mm.

V... Max. 1^h 53^m49, A_m 3.8 mm;
 M_2 2^h 27^m60, A_2 3.0 mm;

E... Starke mikroseismische Unruhe durch den ganzen
Tag andauernd.

Nr. 34. 19. Februar 1902:

(> N... B. 15^h 51^m19; M_1 15^h 51^m90, A_1 1·3 mm;
Max. 15^h 59^m30, A_m 2·4 mm;

E. unbestimmbar.

V... Mikroseismische Unruhe.

E... » » »

Nr. 35. 20. Februar 1902:

N... Tagsüber mikroseismisch bewegt.

V... » » »

E... Von 3^h 12^m56 bis 3^h 27^m66 Anschwellung;

Max. bei 3^h 12^m70, A_m 2·0 mm, und von 3^h 20^m80
bis 3^h 23^m54, A_m 2·1 mm.

Nr. 36. 20. Februar 1902:

<> N... B. 16^h 52^m88; M_1 16^h 54^m28, A_1 1·1 mm;
Max. 17^h 2^m69, A_m 2·4 mm;
 M_3 17^h 10^m25, A_3 2·0 mm;
 M_4 17^h 16^m70, A_4 2·2 mm;

folgen mehrere fast ebenso starke Stöße bis
17^h 25^m12; hierauf neuerliche Zunahme mit

M_5 17^h 47^m55, A_5 2·3 mm; E. 18^h 8^m58.

V... B. 16^h 53^m70; M_1 16^h 54^m82, A_1 1·4 mm;

sodann Abnahme; von 17^h 22^m01 wieder Zunahme mit

Max. 17^h 25^m37, A_m 2·0 mm; E. 17^h 38^m27.

E... Tagsüber mikroseismische Unruhe.

Nr. 37. 21. Februar 1902:

N... Bei 7^h 31^m96 Beginn einer Anschwellung;

Max. 7^h 42^m12 bis 7^h 43^m38, A_m 1·8 mm;

E. unbestimmbar.

V... Sehr schwach bewegt.

E... » » »

Nr. 38. 22. Februar 1902:

<> N... B. 7^h 59^m16; Max. 8^h 6^m95, A_m 2·3 mm; E. 8^h 30^m06.
V... Tagsüber schwach bewegt.
E... Tagsüber stärker bewegt.

Nr. 39. 24. Februar 1902:

N... B. und E. unbestimmbar; von 6^h 39^m79 bis 7^h 22^m15
Maxima der Anschwellungen mit 1·5 mm.

V... Tagsüber mikroseismisch unruhig.

E... » » »

Nr. 40. 25. Februar 1902:

<> N... Zwischen 10^h 59^m12 und 11^h 18^m67 eine Verdickung
der Kurve mit A_m 1·8 mm.

V... Tagsüber schwache mikroseismische Bewegung.

E... » » »

Nr. 41. 25. Februar 1902:

> N... B. 16^h 52^m09; M_1 16^h 52^m65, A_1 1·2 mm;
Max. 16^h 59^m54, A_m 4·3 mm;
 M_3 17^h 6^m85, A_3 2·9 mm;
E. 18^h 2^m98.

V... B. 16^h 58^m42; M_1 16^h 58^m97, A_1 1·7 mm;
Max. 17^h 7^m25, A_m 2·3 mm;

E. unbestimmbar.

E... Starke andauernde Unruhe.

Nr. 42. 26. Februar 1902:

<> N... B. 16^h 32^m68; M_1 16^h 33^m36, A_1 1·3 mm;
 M_2 16^h 45^m37, A_2 1·4 mm;
Max. 17^h 4^m04, A_m 2·1 mm;

von 17^h 12^m91 wieder etwas stärkere Stöße mit
 A_m 1·8 mm bis 17^h 24^m91; E. 17^h 41^m27.

V... B. 16^h 32^m95; Max. 16^h 54^m77, A_m 1·0 mm;
E. 17^h 9^m08.

E... Kontinuierliche Unruhe.

Nr. 43. 1. März 1902:

<> N... B. 1^h 34^m58; M_1 1^h 37^m43, A_1 1·7 mm;
 M_2 2^h 3^m09, A_2 2·7 mm;
 M_3 2^h 11^m92, A_3 3·0 mm;
Max. 2^h 25^m89, A_m 3·4 mm; E. 3^h 4^m37.
V... B. 1^h 34^m83; M_1 1^h 37^m68, A_1 1·1 mm;
Max. 1^h 59^m35, A_m 1·3 mm; E. 2^h 22^m15.
E... Starke andauernde mikroseismische Unruhe.

Nr. 44. 3. März 1902:

Knotenförmige Bildungen:

N... Von 12^h 3^m51 bis 12^h 4^m49;
Max. 12^h 3^m93, A_m 1·5 mm.
V... Von 12^h 3^m49 bis 12^h 5^m88;
Max. 12^h 4^m47, A_m 1·4 mm.
E... Von 12^h 3^m06 bis 12^h 4^m60;
Max. 12^h 4^m18, A_m 1·4 mm.

Nr. 45. 5. März 1902:

(> N... B. 8^h 7^m79; Max. 8^h 8^m74, A_m 1·1 mm;
E. unbestimmbar.
V... B. 8^h 7^m91; Max. 8^h 9^m28, A_m 1·4 mm; E. 8^h 20^m66.
E... B. 8^h 8^m04; Max. 8^h 9^m13, A_m 1·5 mm; E. 8^h 28^m58.

Nr. 46. 5. März 1902:

(> N... B. 20^h 17^m73; M_1 20^h 19^m66, A_1 2·3 mm;
 M_2 20^h 23^m38, A_2 2·5 mm;
 M_3 20^h 25^m72, A_3 3·7 mm;
Max. 20^h 28^m33, A_m 3·8 mm;
 M_5 20^h 33^m70, A_5 3·2 mm;
 M_6 20^h 40^m58, A_6 2·4 mm;
folgen schwächere Stöße, dann wieder stärkere von
20^h 49^m38 an, darunter
 M_7 21^h 0^m12, A_7 3·4 mm; E. 22^h 24^m07.

V... B. 20^h 17^m86; M_1 20^h 19^m38, A_1 1·1 mm;
 M_2 20^h 23^m78, A_2 2·0 mm;
Max. 20^h 25^m99, A_m 3·8 mm;

folgen mehrere schwächere Stöße mit A_m 2·0 mm;
von 20^h 55^m85 neue Verstärkung mit

M_4 20^h 57^m63, A_4 2·2 mm; E. 21^h 28^m19.

E... B. 20^h 18^m12; Max. 20^h 22^m94, A_m 2·4 mm;
E. wegen andauernder mikroseismischer Unruhe
nicht bestimmbar.

Nr. 47. 5. März 1902:

<> N... B. 23^h 46^m47; Max. 23^h 58^m05, A_m 2·0 mm;
E. 24^h 18^m89.
V... B. 23^h 47^m97; Max. 24^h 0^m80, A_m 1·2 mm;
E. 24^h 21^m50.
E... Kontinuierliche mikroseismische Unruhe.

Nr. 48. 6. März 1902:

> N... B. 0^h 32^m14; Max. 0^h 36^m25, A_m 6·8 mm;
E. 0^h 59^m76.
V... B. 0^h 32^m68; Max. 0^h 35^m43, A_m 2·0 mm;
 M_2 0^h 38^m02, A_2 1·9 mm;
E. 1^h 0^m30.
E... B. 0^h 32^m39; Max. 0^h 34^m05 bis 0^h 35^m27, A_m 3·4 mm;
E. unbestimmbar.

Nr. 49. 7. März 1902:

<> N... B. 20^h 13^m13; Max. 20^h 20^m52, A_m 2·0 mm;
E. 20^h 43^m48.
V... B. 20^h 13^m80; Max. 20^h 20^m79 bis 20^h 22^m15,
 A_m 1·0 mm; E. 20^h 39^m92.
E... Tagsüber mikroseismisch unruhig.

Nr. 50. 7. März 1902.

- (> N... B. 20^h 59^m45; Max. 21^h 1^m25, A_m 1.8 mm;
E. unbestimmbar.
V... B. 21^h 0^m42; Max. 21^h 2^m47, A_m 1.4 mm; E. 21^h 5^m88.
E... Tagsüber mikroseismisch unruhig.

Nr. 51. 9. März 1902:

- > N... B. 8^h 47^m88; M_1 8^h 48^m70, A_1 1.2 mm;
 M_2 8^h 52^m00, A_2 2.3 mm;
Max. 8^h 55^m44, A_m 23.5 mm;
 M_4 8^h 59^m42, A_4 18.4 mm;
 M_5 9^h 1^m47, A_5 11.4 mm;
 M_6 9^h 15^m20, A_6 4.6 mm;
E. 9^h 53^m79.
V... B. 8^h 47^m74; M_1 8^h 48^m42, A_1 1.1 mm;
 M_2 8^h 52^m13, A_2 2.4 mm;
 M_3 8^h 54^m06, A_3 5.5 mm;
Max. 8^h 56^m66, A_m 17.0 mm;
 M_5 9^h 0^m64, A_5 5.2 mm;
 M_6 9^h 3^m11, A_6 4.4 mm;
E. 9^h 48^m84.
E... B. 8^h 47^m72; M_1 8^h 48^m68, A_1 1.6 mm;
Max. 8^h 53^m48 bis 8^h 55^m55, A_m 6.6 mm;
 M_3 8^h 58^m15, A_3 4.3 mm;
 M_4 9^h 4^m61, A_4 3.0 mm;
E. unbestimmbar.

Nr. 52. 10. März 1902:

- <> N... B. 5^h 25^m85; M_1 5^h 28^m32, A_1 1.8 mm;
 M_2 5^h 38^m03, A_2 2.2 mm;
Max. 5^h 47^m45, A_m 2.3 mm;
 M_4 5^h 54^m55, A_4 1.9 mm;
 M_5 6^h 18^m62, A_5 1.9 mm; E. 7^h 9^m88.
V... Zwischen 5^h 33^m65 und 5^h 47^m04 einige kleine
Stöße mit A_m 0.8 mm.
E... Kontinuierliche mikroseismische Unruhe.

Nr. 53. 11. März 1902:

- > N... B. 20^h 13^m67; M_1 20^h 14^m35, A_1 2.4 mm;
 M_2 20^h 15^m57, A_2 4.0 mm;
Max. 20^h 19^m95, A_m 4.7 mm;
 M_4 20^h 28^m67, A_4 3.0 mm;
 M_5 20^h 34^m12, A_5 2.7 mm;
E. 21^h 19^m12.
V... B. 20^h 14^m21; Max. 20^h 15^m57 bis 20^h 19^m12,
 A_m 1.4 mm; E. 20^h 56^m48.
E... B. 20^h 13^m92; Max. 20^h 16^m91, A_m 2.8 mm;
E. unbestimmbar.

Nr. 54. 12. März 1902:

- > N... B. 10^h 2^m05; M_1 10^h 2^m75, A_1 3.2 mm;
Max. 10^h 19^m50, A_m 3.3 mm;
 M_3 10^h 36^m24, A_3 2.4 mm;
E. 11^h 11^m12.
V... B. 10^h 2^m17; Max. 10^h 2^m59, A_m 1.9 mm;
 M_2 10^h 7^m19, A_2 1.5 mm;
E. 11^h 10^m26.
E... Von 9^h 54^m91 bis 10^h 53^m23 Anschwellung der
Kurve mit Max. 10^h 8^m58, A_m 2.0 mm.

Nr. 55. 12. März 1902:

- > N... B. 16^h 24^m70; M_1 16^h 24^m99, A_1 1.7 mm;
 M_2 16^h 35^m27, A_2 2.0 mm;
 M_3 16^h 41^m66, A_3 2.5 mm;
Max. 17^h 2^m50, A_m 2.6 mm;
E. 17^h 55^m26.
V... B. 16^h 24^m42; M_1 16^h 25^m24, A_1 2.1 mm;
 M_2 16^h 27^m20, A_2 3.4 mm;
Max. 16^h 29^m55, A_m 3.7 mm;
 M_4 16^h 34^m70, A_4 2.2 mm;
 M_5 16^h 36^m50, A_5 2.1 mm;
 M_6 16^h 42^m20, A_6 1.7 mm;
 M_7 16^h 51^m92, A_7 1.3 mm;
E. 17^h 59^m98.

Nr. 62. 22. März 1902:

<> N... B. 8^h 21^m92; doch bei 7^h 55^m29 bereits Beginn einer schwachen vorausgehenden Unruhe. Von 9^h 3^m80 an wird die Bewegung überhaupt stärker;

Max. 9^h 13^m96 und 9^h 25^m49, A_m 2·5 mm;

E. 10^h 3^m94.

V... Tagsüber mikroseismisch bewegt.

E... » » »

Nr. 63. 22. und 23. März 1902:

<> N... B. 23^h 44^m04; M_1 23^h 45^m44, A_1 1·9 mm;

M_2 23^h 47^m94, A_2 2·5 mm;

M_3 0^h 1^m02, A_3 2·6 mm;

M_4 0^h 6^m04, A_4 3·7 mm;

M_5 0^h 11^m43, A_5 3·3 mm;

Max. 0^h 20^m01, A_m 6·6 mm;

M_7 0^h 33^m55, A_7 4·2 mm;

M_8 0^h 57^m74, A_8 2·7 mm;

E. 1^h 35^m76.

V... Fortwährende starke mikroseismische Unruhe.

E... » » »

Nr. 64. 24. März 1902:

> N... B. 19^h 9^m52; Max. 19^h 9^m81, A_m 3·2 mm;

M_2 19^h 16^m66, A_2 3·0 mm;

M_3 19^h 22^m70, A_3 3·0 mm;

M_4 19^h 29^m56, A_4 2·8 mm;

M_5 19^h 47^m14, A_5 1·9 mm;

E. 19^h 59^m50.

V... B. 19^h 9^m24; M_1 19^h 10^m88, A_1 2·4 mm;

Max. 19^h 12^m25, A_m 2·6 mm;

M_3 19^h 16^m10, A_3 2·2 mm;

E. 19^h 42^m19.

Nr. 65. 25. März 1902:

> N... B. 4^h 53^m26; M_1 4^h 55^m36, A_1 2·7 mm;
Max. 5^h 5^m96, A_m 3·9 mm;

von 5^h 29^m68 bis 5^h 47^m82 eine neue Reihe schwächerer Stöße mit A_m 1·6 mm; E. 5^h 50^m60.

V... B. 4^h 53^m93; M_1 4^h 54^m76, A_1 1·4 mm;

M_2 5^h 0^m91, A_2 1·4 mm; E. 5^h 24^m35.

E... Kontinuierliche Unruhe, A_m 1·9 mm.

Nr. 66. 28. März 1902:

<> N... B. 7^h 25^m85; M_1 7^h 29^m77, A_1 1·3 mm;

Max. 7^h 38^m15, A_m 1·7 mm; E. 8^h 13^m11.

V... Schwache Unruhe.

E... » » »

Nr. 67. 28. März 1902:

> N... B. 10^h 42^m70; M_1 10^h 49^m84, A_1 2·6 mm;

Max. 10^h 59^m42, A_m 3·8 mm;

von 11^h 10^m38 bis 11^h 40^m51 mehrere schwächere Stöße mit A_m 2·2 mm; E. unbestimmbar.

V... Von 10^h 48^m72 bis 11^h 3^m24 mehrere knotenförmige Bildungen; Max. 10^h 54^m20, A_m 1·3 mm.

E... Von 10^h 49^m01 bis 11^h 21^m89 knotenförmige Anschwellungen; Max. 10^h 54^m49, A_m 1·7 mm.

Nr. 68. 28. März 1902:

> N... B. 15^h 57^m92; M_1 15^h 59^m03, A_1 1·8 mm;

M_2 16^h 3^m22, A_2 4·8 mm;

M_3 16^h 10^m10, A_3 14·5 mm;

Max. 16^h 15^m57, A_m 21·6 mm;

M_5 16^h 19^m10, A_5 19·0 mm;

M_6 16^h 24^m83, A_6 7·0 mm;

M_7 16^h 30^m41, A_7 10.8 mm;
 M_8 16^h 36^m01, A_8 12.2 mm;
 M_9 16^h 40^m10, A_9 7.2 mm;
 M_{10} 16^h 52^m37, A_{10} 6.2 mm;
 M_{11} 17^h 0^m82, A_{11} 10.2 mm;
 M_{12} 17^h 8^m77, A_{12} 6.0 mm;
 M_{13} 17^h 17^m31, A_{13} 5.0 mm;

hierauf immer schwächer werdende Stöße bis 17^h 57^m04. Bei 17^h 58^m42 Beginn einer neuen Serie von Schwingungen, darunter

M_{14} 18^h 5^m73, A_{14} 3.1 mm;
 M_{15} 18^h 46^m82, A_{15} 3.3 mm;

E. unbestimmbar.

V... B. 15^h 58^m72; M_1 16^h 0^m68, A_1 1.2 mm;
 M_2 16^h 3^m47, A_2 3.6 mm;
 M_3 16^h 9^m94, A_3 8.8 mm;
 M_4 16^h 13^m62, A_4 8.5 mm;
Max. 16^h 19^m62, A_m 15.9 mm;
 M_6 16^h 23^m04, A_6 8.7 mm;
 M_7 16^h 29^m30, A_7 4.8 mm;
 M_8 16^h 42^m66, A_8 3.6 mm;
 M_9 16^h 49^m90, A_9 3.0 mm;

es folgen noch einige mindere Stöße; eine neuerliche Verdickung von 16^h 58^m07 bis 17^h 55^m35, A_m 1.2 mm.

E... B. 16^h 0^m97; M_1 16^h 3^m76, A_1 3.0 mm;
 M_2 16^h 6^m55, A_2 3.4 mm;
Max. 16^h 13^m09, A_m 5.2 mm;
 M_4 16^h 19^m91, A_4 3.8 mm;
 M_5 16^h 23^m19, A_5 3.2 mm;

aber malige Zunahme der Schwingungen von 17^h 2^m31 bis 17^h 28^m37;

M_6 17^h 6^m54, A_6 3.2 mm;
E. unbestimmbar.

Nr. 69. 28. März 1902:

(> N... B. 21^h 15^m67; M_1 21^h 17^m05, A_1 2.0 mm;
 M_2 21^h 20^m08, A_2 3.0 mm;
Max. 21^h 29^m46, A_m 3.2 mm;
E. 22^h 12^m22.

V... Schwache Verdickung der Kurve zwischen 21^h 13^m86 und 21^h 58^m68 mit A_m 1.2 mm.

E... Kontinuierliche Unruhe, A_m 1.2 mm.

Nr. 70. 2. April 1902:

(> N... B. 6^h 15^m41; Max. 6^h 19^m23, A_m 3.2 mm; E. 6^h 47^m26.
V... Ruhig.
E... Kontinuierliche mikroseismische Unruhe.

Nr. 71. 2. April 1902:

(> N... B. 8^h 13^m49; Max. 8^h 16^m96, A_m 2.5 mm; E. 8^h 39^m60.
V... Ruhig.
E... Anhaltende mikroseismische Bewegung.

Nr. 72. 3. April 1902:

<> N... Zwischen 11^h 30^m87 und 11^h 52^m95 eine Anschwellung mit Max. von 11^h 34^m45 bis 11^h 41^m98, A_m 2.0 mm.
V... Ruhig.
E... Kaum bemerkbare Unruhe.

Nr. 73. 3. April 1902:

N... Von 18^h 31^m09 bis 18^h 33^m16 sehr schwache Anschwellung.
V... Bei 18^h 31^m07, A 1.0 mm.
E... Mikroseismisch bewegt.

Nr. 74. 3. April 1902:

N... Von 22^h 48^m 01 bis 23^h 12^m 04 kleine Anschwellung,

Max. 22^h 54^m 47 bis 22^h 57^m 21, A_m 1.5 mm.

V... Von 22^h 49^m 49 bis 22^h 59^m 65 sehr schwache Anschwellung, A_m 0.9 mm.

E... Unruhig.

Nr. 75. 4. April 1902:

<> N... B. 5^h 4^m 33; M_1 5^h 8^m 11, A_1 1.8 mm;
Max. 5^h 32^m 24, A_m 2.0 mm; E. 5^h 58^m 06.

V... Ruhig.

E... Fast ruhig.

Nr. 76. 5. April 1902:

(> N... B. 20^h 17^m 52; M_1 20^h 18^m 47, A_1 1.6 mm;
 M_2 20^h 19^m 16, A_2 2.2 mm;
Max. 20^h 24^m 10, A_m 2.8 mm;

von 20^h 36^m 71 bis 21^h 1^m 37 eine zweite schwächere Anschwellung mit A_m 1.5 mm; E. 21^h 12^m 32.

V... Von 20^h 17^m 77 bis 20^h 45^m 17 schwache Stöße, A_m 1.2 mm.

E... Leichte anhaltende Unruhe.

Nr. 77. 7. April 1902:

(> N... B. 7^h 38^m 48; Max. 7^h 39^m 74, A_m 2.2 mm; E. 7^h 55^m 51.

V... B. 7^h 38^m 59; Max. 7^h 41^m 66, A_m 1.3 mm;

E. unbestimmbar.

E... Tagsüber mikroseismisch bewegt.

Nr. 78. 7. April 1902:

<> N... B. und E. infolge mikroseismischer Unruhe nicht bestimmbar.

M_1 14^h 16^m 89, A_1 1.6 mm;

M_2 14^h 28^m 46, A_2 2.3 mm;

Max. 14^h 32^m 54 und 14^h 42^m 06, A_m 2.7 mm.

V... M_1 14^h 17^m 14, A_1 1.0 mm;

Max. 14^h 33^m 20, A_m 2.0 mm;

M_3 14^h 42^m 17, A_3 1.3 mm;

E... Anhaltende mikroseismische Unruhe.

Nr. 79. 9. April 1902:

N... Von 9^h 24^m 05 bis 9^h 50^m 26 Anschwellung;

Max. 9^h 28^m 19 bis 9^h 30^m 25, A_m 1.6 mm.

V... Kaum bemerkbare Unruhe.

E... Tagsüber bewegt.

Nr. 80. 9. April 1902:

> N... B. 20^h 32^m 02; Max. 20^h 32^m 98, A_m 1.4 mm;
E. 20^h 57^m 31.

V... Zwischen 20^h 31^m 99 und 20^h 47^m 19 eine sehr schwache Anschwellung mit kaum A_m 1.0 mm.

E... Ruhig.

Nr. 81. 11. April 1902:

> N... B. 20^h 7^m 27; M_1 20^h 8^m 09, A_1 1.2 mm;
Max. 20^h 8^m 78, A_m 5.7 mm;

M_3 20^h 10^m 27, A_3 3.5 mm;

M_4 20^h 12^m 60, A_4 4.8 mm;

M_5 20^h 16^m 43, A_5 3.5 mm;

E. 20^h 49^m 37.

V... B. 20^h 8^m 07; M_1 20^h 8^m 47, A_1 1.7 mm;

Max. 20^h 9^m 84, A_m 3.0 mm;

M_3 20^h 12^m 17, A_3 2.0 mm;

M_4 20^h 17^m 22, A_4 1.8 mm;

E. 20^h 37^m 32.

E... B. 20^h 8^m 36; M_1 20^h 8^m 63, A_1 2.1 mm;

Max. 20^h 10^m 27, A_m 3.1 mm;

E. 20^h 51^m 27.

Nr. 82. 12. April 1902:

<> N... B. 1^h 1^m06; M_1 1^h 4^m17, A_1 1.3 mm;
 M_2 1^h 14^m10, A_2 2.5 mm;
 M_3 1^h 20^m90, A_3 3.5 mm;
Max. 1^h 29^m42, A_m 4.7 mm;
 M_5 1^h 38^m78, A_5 3.6 mm;
 M_6 1^h 53^m12, A_6 2.4 mm;
 M_7 2^h 5^m17, A_7 2.7 mm;
 M_8 2^h 10^m41, A_8 2.6 mm;
 M_9 2^h 19^m36, A_9 3.0 mm; E. 2^h 59^m07.
V... B. 1^h 0^m88; M_1 1^h 7^m97, A_1 1.0 mm;
 M_2 1^h 13^m21, A_2 2.0 mm;
Max. 1^h 18^m18, A_m 2.9 mm;
 M_4 1^h 28^m54, A_4 2.2 mm;

folgen noch einige schwächere Stöße; E. 2^h 28^m09.

E... Anhaltende schwache Unruhe; A_m 1.5 mm.

Nr. 83. 13. April 1902:

N... Schwache Anschwellung,

B. 23^h 18^m60; Max. 23^h 39^m75, A_m 1.3 mm; E. bei 24^h.

V... Ruhig.

E... Von 23^h 35^m07 bis 23^h 40^m56, A 1.4 mm.

Nr. 84. 17. April 1902:

<> N... B. 22^h 17^m84; M_1 22^h 22^m62, A_1 1.2 mm;
 M_2 22^h 28^m62, A_2 2.4 mm;
Max. 22^h 37^m62, A_m 4.0 mm;
 M_4 22^h 44^m06, A_4 3.2 mm;
 M_5 22^h 49^m89, A_5 3.2 mm;
E. 23^h 28^m07.
V... B. 22^h 17^m82; M_1 22^h 25^m06, A_1 1.0 mm;
Max. 22^h 28^m33, A_m 1.7 mm;
folgen mehrere schwächere Stöße bis 22^h 50^m14;
E. 23^h 5^m14.

E... B. 22^h 17^m70; M_1 22^h 24^m25, A_1 2.5 mm;
 M_2 22^h 29^m44, A_2 2.5 mm;
 M_3 22^h 50^m57, A_3 1.6 mm;
E. 23^h 20^m43.

Nr. 85. 19. April 1902:

(> N... B. 3^h 36^m88; M_1 3^h 37^m86, A_1 13.2 mm;
 M_2 3^h 46^m51, A_2 13.0 mm;
Max. 3^h 48^m89, A_m 38.0 mm;
 M_4 3^h 56^m98, A_4 20.4 mm;
 M_5 4^h 10^m51, A_5 37.5 mm;
 M_6 4^h 16^m65, A_6 23.8 mm;
 M_7 4^h 26^m83, A_7 23.5 mm;
 M_8 4^h 32^m41, A_8 16.8 mm;
 M_9 4^h 39^m82, A_9 10.2 mm;
 M_{10} 4^h 52^m37, A_{10} 7.7 mm;
 M_{11} 5^h 3^m25, A_{11} 4.2 mm;

hierauf noch eine Reihe an Intensität abnehmender
Stöße, bei 5^h 57^m95 noch A 2.0 mm; schwache
Unruhe dauert bis gegen 7^h fort.

V... B. 3^h 36^m85; M_1 3^h 37^m28, A_1 4.3 mm;
 M_2 3^h 40^m90, A_2 7.2 mm;
 M_3 3^h 42^m86, A_3 10.0 mm;
Max. 3^h 49^m27, A_m 23.0 mm;
 M_5 3^h 54^m30, A_5 19.2 mm;
 M_6 3^h 57^m51, A_6 16.5 mm;
 M_7 4^h 11^m87, A_7 17.0 mm;
 M_8 4^h 16^m34, A_8 13.0 mm;
 M_9 4^h 22^m34, A_9 8.7 mm;
 M_{10} 4^h 34^m48, A_{10} 4.6 mm;

folgt eine Reihe schwächer werdender Stöße; bei
5^h 15^m91 noch A 1.5 mm; schwache Unruhe
dauert bis gegen 7^h fort.

E... B. 3^h 37^m28; M_1 3^h 38^m54, A_1 2·4 mm;
 M_2 3^h 41^m33, A_2 4·6 mm;
Max. 3^h 48^m87, A_m 9·0 mm;
 M_4 3^h 51^m94, A_4 6·5 mm;
 M_5 4^h 2^m68, A_5 3·5 mm;
 M_6 4^h 10^m63, A_6 4·5 mm;
 M_7 4^h 12^m45, A_7 3·8 mm;

schwächere Unruhe fortdauernd.

Nr. 86. 21. April 1902:

<> *N*... B. 18^h 49^m58; Max. 19^h 0^m92, A_m 1·7 mm;
E. 19^h 49^m72.
V... B. 18^h 53^m25; Max. 18^h 57^m35, A_m 1·6 mm;
E. 19^h 49^m29.
E... Tagsüber mikroseismisch unruhig.

Nr. 87. 22. April 1902:

N... Schwache Anschwellung, B. und *E*. unbestimmbar;
Max. 17^h 31^m67, A_m 2·0 mm.
V... Etwas bewegt.
E... Ziemlich bewegt.

Nr. 88. 26. April 1902:

N... Von 0^h 20^m72 bis 1^h 22^m93 leichte Anschwellung;
Max. 0^h 59^m20, A_m 1·4 mm.
V... Leichte Unruhe.
E... » »

Nr. 89. 26. April 1902:

> *N*... B. 9^h 22^m20; Max. 9^h 23^m03, A_m 2·8 mm; *E*. 9^h 38^m68.
V... B. 9^h 22^m31; Max. 9^h 23^m28, A_m 2·8 mm; *E*. 9^h 36^m16.
E... B. 9^h 22^m74; Max. 9^h 23^m84, A_m 7·2 mm;
E. unbestimmbar

Nr. 90. 27. April 1902:

> *N*... B. 2^h 3^m04; M_1 2^h 4^m41, A_1 1·0 mm;
Max. 2^h 7^m42, A_m 4·2 mm;
 M_3 2^h 9^m61, A_3 3·6 mm; *E*. 2^h 41^m12.
V... B. 2^h 3^m29; M_1 2^h 4^m93, A_1 1·2 mm;
Max. 2^h 7^m12, A_m 3·5 mm;
 M_3 2^h 9^m86, A_3 2·4 mm; *E*. 2^h 30^m40.
E... Tagsüber starke mikroseismische Unruhe.

Nr. 91. 1. Mai 1902:

N... Von 4^h 14^m68 bis 4^h 55^m41 leichte Anschwellungen,
 A_m 1·2 mm.
V... Kaum bemerkbare Unruhe.
E... » » » »

Nr. 92. 2. Mai 1902:

<> *N*... B. 12^h 48^m80; bis 13^h 12^m12 eine Reihe Stöße mit
 A_m 2·1 mm; von 13^h 12^m81 an folgt eine zweite
Serie stärkerer Stöße bis 13^h 49^m62;
Max. 13^h 24^m32, A_m 3·5 mm; *E*. 14^h 36^m84.
V... Von 12^h 52^m93 bis 13^h 35^m98 eine Reihe schwacher
Stöße;
Max. 13^h 17^m92, A_m 1·5 mm.
E... Tagsüber schwache Unruhe, während der Störung
 A_m 1·5 mm.

Nr. 93. 6. Mai 1902:

> *N*... B. 4^h 0^m41; Max. 4^h 1^m10, A_m 1·3 mm; *E*. 4^h 20^m19.
V... B. 4^h 0^m53; M_1 4^h 0^m93, A_1 1·5 mm;
Max. 4^h 2^m57, A_m 1·8 mm; *E*. 4^h 13^m62.
E... Tagsüber mikroseismische Unruhe.

V... B. 10^h 23^m03; Max. 10^h 25^m18, A_m 2·0 mm;
folgen eine Reihe schwächerer Stöße, A 1·2 mm;
E. 11^h 41^m86.

E... Anhaltende Pendelunruhe.

Nr. 108. 29. Mai 1902:

(> N... B. 23^h 44^m79; Max. 23^h 47^m32, A_m 2·0 mm;
E. 24^h 25^m25.
V... B. 23^h 45^m18; Max. 23^h 46^m44, A_m 2·2 mm;
E. unbestimmbar.
E... Von 23^h 45^m61 bis 23^h 50^m53 Anschwellung,
 A 2·0 mm.

Nr. 109. 7. Juni 1902:

(> N... B. 21^h 19^m71; M_1 21^h 20^m40, A_1 1·0 mm;
Max. 21^h 25^m59, A_m 2·5 mm;
E. 21^h 45^m06.
V... B. 21^h 19^m96; Max. 21^h 22^m01 bis 21^h 24^m47,
 A_m 1·4 mm; E. 21^h 31^m61.
E... B. 21^h 19^m84; M_1 21^h 20^m11, A_1 1·9 mm;
 M_2 21^h 21^m89, A_2 1·9 mm;
E. 21^h 46^m97.

Nr. 110. 8. Juni 1902:

<> N... B. 14^h 37^m31; Max. 14^h 52^m42, A_m 2·1 mm;
E. 15^h 25^m61.
V... Ruhig.
E... Tagsüber unruhig.

Nr. 111. 11. Juni 1902:

<> N... B. 7^h 22^m63; M_1 7^h 29^m33, A_1 1·6 mm;
 M_2 7^h 38^m57, A_2 2·2 mm;
 M_3 7^h 42^m21, A_3 3·5 mm;
 M_4 7^h 50^m03, A_4 12·0 mm;
Max. 7^h 55^m35, A_m 29·0 mm;

M_6 7^h 58^m99, A_6 24·0 mm;
 M_7 8^h 3^m04, A_7 23·0 mm;
 M_8 8^h 11^m98, A_8 5·2 mm;
 M_9 8^h 25^m65, A_9 5·8 mm;
 M_{10} 8^h 42^m11, A_{10} 2·8 mm; E. 9^h 4^m43.

V... B. 7^h 24^m03; M_1 7^h 29^m91, A_1 1·0 mm;
 M_2 7^h 41^m37, A_2 2·2 mm;
 M_3 7^h 46^m00, A_3 3·3 mm;
 M_4 7^h 52^m85, A_4 9·4 mm;
Max. 7^h 56^m05, A_m 11·6 mm;
 M_6 7^h 59^m28, A_6 8·5 mm;
 M_7 8^h 1^m65; A_7 8·7 mm;
 M_8 8^h 4^m86; A_8 5·2 mm;
 M_9 8^h 13^m10, A_9 3·0 mm;
 M_{10} 8^h 21^m47, A_{10} 3·2 mm; E. 8^h 50^m77.

E... B. 7^h 25^m87; M_1 7^h 27^m82, A_1 1·1 mm;
Max. 7^h 54^m11, A_m 2·0 mm;

E. unbestimmbar.

Nr. 112. 13. Juni 1902:

<> N... B. 1^h 44^m61; Max. 2^h 20^m17, A_m 1·9 mm;
E. 2^h 43^m08.
V... Schwach bewegt.
E... » » »

Nr. 113. 15. Juni 1902:

<> N... B. 13^h 40^m59; Max. 13^h 53^m71, A_m 1·5 mm;
E. 14^h 19^m95.
V... Sehr schwach bewegt.
E... » » »

Nr. 114. 15. Juni 1902:

N... Von 17^h 18^m12 bis 18^h 14^m37 schwache Anschwellungen, A_m 1·3 mm.
V... Sehr schwach bewegt.
E... » » »

Nr. 115. 16. Juni 1902:

- <> N... B. 2^h 45^m53; M_1 2^h 46^m09, A_1 1·1 mm;
 M_2 3^h 6^m04, A_2 2·6 mm;
 M_3 3^h 13^m07, A_3 3·9 mm;
 M_4 3^h 20^m37, A_4 3·9 mm; E. 3^h 59^m43.
V... B. 2^h 45^m82; M_1 2^h 46^m66, A_1 1·2 mm;
 M_2 3^h 7^m17, A_2 1·7 mm;
 M_3 3^h 27^m41, A_3 1·7 mm; E. 3^h 49^m89.
E... Schwache Unruhe.

Nr. 116. 18. Juni 1902:

- <> N... B. 0^h 58^m00; Max. 1^h 8^m90, A_m 1·8 mm; E. 2^h 4^m84.
V... Schwache Unruhe.
E... » »

Nr. 117. 19. Juni 1902:

- (> N... Zwischen 6^h 16^m21 und 6^h 52^m26 eine Reihe schwacher Anschwellungen mit Max. von 6^h 16^m89 bis 6^h 18^m25, A_m 1·5 mm.
V... Sehr schwache Anschwellungen, A_m kaum 1·0 mm.
E... Schwache Unruhe.

Nr. 118. 19. Juni 1902:

- > N... B. 10^h 23^m53; Max. 10^h 23^m80, A_m 2·0 mm;
E. 10^h 45^m67.
V... B. 10^h 23^m68; Max. 10^h 24^m23, A_m 1·3 mm;
E. 10^h 37^m76.
E... Von 10^h 23^m55 bis 10^h 24^m77 knotenförmige Bildungen, A_m 1·3 mm.

Nr. 119. 21. Juni 1902:

- <> N... B. 23^h 12^m14; Max. 23^h 25^m12, A_m 1·3 mm;
E. unbestimmbar.
V... Von 23^h 25^m82 bis 23^h 27^m50, A 1·0 mm.
E... Schwach bewegt.

Nr. 120. 22. Juni 1902:

- (> N... B. 4^h 37^m41; M_1 4^h 37^m83, A_1 1·2 mm;
 M_2 4^h 42^m63, A_2 2·7 mm;
Max. 4^h 47^m23, A_m 4·2 mm;
 M_4 4^h 53^m85, A_4 3·1 mm;
 M_5 4^h 59^m34, A_5 1·8 mm; E. 5^h 20^m16.
V... B. 4^h 37^m70; M_1 4^h 38^m93, A_1 1·2 mm;
Max. 4^h 48^m95, A_m 3·6 mm;
 M_3 4^h 53^m05, A_3 2·8 mm;
 M_4 5^h 1^m42, A_4 2·8 mm; E. 5^h 43^m74.
E... Fortwährend schwache Unruhe.

Nr. 121. 22. Juni 1902:

- N... Von 6^h 10^m88 bis 6^h 26^m81 schwache Anschwellung;
Max. 6^h 16^m92, A_m 1·6 mm.
V... Fast ruhig.
E... Leicht bewegt.

Nr. 122. 23. Juni 1902:

- <> N... Schwache, kaum bemerkbare Unruhe.
V... B. 9^h 35^m01; Max. 9^h 41^m53, A_m 1·3 mm;
E. 9^h 50^m95.
E... Schwache Unruhe.

Nr. 123. 25. Juni 1902:

- > N... B. 2^h 23^m81; M_1 2^h 24^m49, A_1 1·9 mm;
Max. 2^h 30^m06, A_m 2·3 mm; E. 2^h 55^m17.
V... B. 2^h 23^m15; Max. 2^h 28^m03, A_m 3·2 mm;
E. 2^h 44^m60.
E... Von 2^h 25^m33 bis 2^h 26^m95 schwache Anschwellung,
 A_m 1·5 mm.

Nr. 124. 27. Juni 1902:

- > N... B. 17^h 49^m93; Max. 17^h 51^m29, A_m 1.9 mm;
E. 18^h 9^m53.
V... B. 17^h 49^m54; Max. 17^h 51^m04, A_m 1.8 mm;
E. 18^h 4^m33.
E... B. 17^h 49^m68; Max. 17^h 50^m91, A_m 2.3 mm;
 M_2 17^h 57^m22, A_2 1.9 mm;
E. 18^h 16^m13.

Nr. 125. 28. Juni 1902:

- > N... B. 9^h 47^m49; Max. 9^h 48^m89, A_m 2.0 mm;
E. 10^h 2^m59.
V... B. 9^h 47^m78; Max. 9^h 48^m75, A_m 1.6 mm;
E. 10^h 1^m48.
E... B. 9^h 47^m24; Max. 9^h 48^m92, A_m 2.0 mm;
E. 10^h 19^m13.

Nr. 126. 30. Juni 1902:

- N... Von 4^h 4^m99 bis 4^h 18^m97 Anschwellung;
Max. 4^h 11^m56 bis 4^h 11^m83, A_m 1.4 mm.
V... Ruhig.
E... Kaum bemerkbare Unruhe.

Nr. 127. 30. Juni 1902:

- (> N... B. 11^h 28^m33, Max. 11^h 33^m59, A_m 2.0 mm;
E. 11^h 46^m90.
V... Ruhig.
E... B. 11^h 28^m35; Max. 11^h 33^m20, A_m 1.5 mm;
E. 11^h 41^m10.

Nr. 128. 3. Juli 1902:

- <> N... B. 16^h 58^m27; Max. 17^h 6^m95, A_m 1.7 mm;
E. 17^h 29^m39.
V... Schwache Unruhe.
E... Fast ruhig.

Nr. 129. 4. Juli 1902:

- <> N... B. 2^h 56^m92; Max. 2^h 57^m32, A_m 1.4 mm; E. 3^h 22^m08.
V... Von 2^h 57^m35 bis 3^h 8^m92 schwache Unruhe.
E... B. 2^h 56^m67; M_1 2^h 57^m34, A_1 1.1 mm;
Max. 3^h 1^m65, A_m 1.3 mm; E. 3^h 11^m74.

Nr. 130. 5. Juli 1902:

- (> N... B. 13^h 1^m15; Max. 13^h 4^m50, A_m 1.3 mm;
E. 13^h 15^m38.
V... B. 13^h 2^m42; Max. 13^h 2^m69, A_m 1.6 mm;
E. 13^h 8^m70.
E... B. 13^h 1^m60; Max. 13^h 2^m15, A_m 1.6 mm;
E. 13^h 13^m74.

Nr. 131. 5. Juli 1902:

- (> N... B. 15^h 57^m55; M_1 15^h 58^m39, A_1 1.7 mm;
 M_2 16^h 0^m75, A_2 20.5 mm;

bei 16^h 1^m22 fand eine Versetzung aller Pendel statt, Aufzeichnung wurde undeutlich. Das N-Pendel versetzte sich nach Nordosten um 26.6 mm;

Max. 16^h 6^m29, A_m 35.0 mm;
 M_4 16^h 10^m19, A_4 31.0 mm;
 M_5 16^h 14^m63, A_5 7.4 mm;
 M_6 16^h 17^m01, A_6 6.2 mm;
 M_7 16^h 19^m92, A_7 5.2 mm;

folgen mehrere kleinere Stöße, A_m 3.5 mm; hierauf Abnahme; neuerliche Zunahme von 16^h 36^m88 bis 16^h 46^m75 und von 16^h 52^m16 bis 17^h 16^m50 mit A_m 2.4 mm. E. unbestimmbar.

V... B. 15^h 58^m16; M_1 15^h 58^m72, A_1 3.7 mm;
 M_2 16^h 1^m21, A_2 12.0 mm;

bei 16^h 1^m22 findet die Pendelversetzung statt und zwar nach Südosten um 1.7 mm;

Max. 16^h 6^m73, A_m 28.8 mm;
 M_4 16^h 8^m68, A_4 27.8 mm;
 M_5 16^h 11^m45, A_5 14.8 mm;
 M_6 16^h 18^m55, A_6 5.8 mm;
 M_7 16^h 22^m72, A_7 3.0 mm;
 M_8 16^h 28^m54, A_8 2.7 mm;
 M_9 16^h 41^m47, A_9 2.1 mm; E. 17^h 1^m50.

E... B. 15^h 57^m76; M_1 15^h 58^m18, A_1 1.6 mm;
 M_2 16^h 0^m67, A_2 11.0 mm;

bei 16^h 1^m22 Pendelversetzung nach Süden um
4.6 mm;

Max. 16^h 5^m91, A_m 18.0 mm;
 M_4 16^h 8^m28, A_4 10.0 mm;
 M_5 16^h 11^m32, A_5 8.6 mm;
 M_6 16^h 13^m83, A_6 4.5 mm;
E. unbestimmbar.

Nr. 132. 5. Juli 1902:

N... B. 21^h 0^m20; Max. 21^h 0^m48, A_m 1.3 mm;
E. 21^h 2^m84.

V... Von 21^h 0^m64 bis 21^h 12^m85, A_m 1.1 mm.

E... B. 21^h 0^m10; Max. 21^h 2^m02, A_m 2.0 mm;
E. 21^h 20^m64.

Nr. 133. 5. Juli 1902:

> N... B. 21^h 51^m89; Max. 21^h 53^m39, A_m 1.7 mm;
E. 22^h 16^m51.

V... B. 21^h 53^m01; Max. 21^h 53^m30, A_m 2.7 mm;
E. 22^h 8^m40.

E... B. 21^h 51^m92; M_1 21^h 52^m62, A_1 2.4 mm;
Max. 21^h 54^m29, A_m 3.4 mm;
E. 22^h 13^m48.

Nr. 134. 6. Juli 1902:

> N... B. 3^h 9^m17; Max. 3^h 9^m87, A_m 1.3 mm; E. 3^h 15^m48.
V... B. 3^h 9^m88; Max. 3^h 10^m15, A_m 1.3 mm; E. 3^h 26^m98.
E... B. 3^h 8^m64; Max. zwischen 3^h 10^m32 und 3^h 16^m35,
 A_m 1.5 mm; E. 3^h 27^m84.

Nr. 135. 6. Juli 1902:

> N... B. 4^h 8^m16; M_1 4^h 10^m62, A_1 4.5 mm;
Max. 4^h 11^m18, A_m 5.0 mm;
 M_3 4^h 14^m87, A_3 3.5 mm; E. 4^h 38^m44.

Schwache Unruhe folgt.

V... B. 4^h 9^m96; Max. 4^h 11^m33, A_m 6.5 mm;
 M_2 4^h 17^m50, A_2 3.0 mm; E. 4^h 34^m63.
E... B. 4^h 7^m78; M_1 4^h 9^m01, A_1 1.3 mm;
 M_2 4^h 10^m64, A_2 7.0 mm;
Max. 4^h 12^m16, A_m 14.0 mm; E. 4^h 32^m72.

Schwache Unruhe folgt.

Nr. 136. 6. Juli 1902:

> N... B. 12^h 41^m34; M_1 12^h 42^m16, A_1 1.6 mm;
Max. 12^h 47^m68, A_m 1.7 mm;
E. 13^h 6^m99.

V... B. 12^h 41^m89; Max. 12^h 42^m44, A_m 2.8 mm;
E. 12^h 58^m71.

E... B. 12^h 41^m50; Max. 12^h 42^m06, A_m 2.1 mm;
E. unbestimmbar.

Nr. 137. 6. Juli 1902:

> N... B. 14^h 23^m75; M_1 14^h 24^m16, A_1 2.8 mm;
 M_2 14^h 27^m65, A_2 3.6 mm;
Max. 14^h 37^m72 und 14^h 39^m34, A_m 8.7 mm;
 M_3 14^h 42^m55, A_3 7.0 mm;
 M_6 14^h 43^m76, A_6 7.0 mm;
 M_7 14^h 51^m41, A_7 8.2 mm;
 M_8 14^h 57^m05, A_8 3.2 mm;

nach Abnahme erscheinen von 15^h 7^m65 bis 15^h 26^m05 wieder mehrere stärkere Stöße mit A_m 3·5 mm, sodann noch einige schwächere bis 16^h 3^m63, A 2·0 mm; E. 16^h 35^m84.

V... B. 14^h 24^m18; M_1 14^h 24^m58, A_1 2·0 mm;
 M_2 14^h 27^m54, A_2 3·4 mm;
Max. 14^h 35^m87, A_m 6·8 mm;
 M_4 14^h 43^m25, A_4 4·5 mm;
 M_5 14^h 47^m68, A_5 4·6 mm;
 M_6 14^h 49^m69, A_6 4·6 mm;

folgen noch einige schwache Stöße mit A_m 2·3 mm;
E. 16^h 14^m66.

E... B. 14^h 23^m64; M_1 14^h 24^m04, A_1 1·2 mm;
Max. 14^h 31^m43, A_m 1·8 mm;
E. 15^h 51^m29.

Nr. 138. 7. Juli 1902:

> N... B. 0^h 37^m71; M_1 0^h 38^m25, A_1 2·0 mm;
Max. 0^h 39^m07 bis 0^h 40^m03, A_m 2·3 mm;
E. 1^h 1^m62.
V... B. 0^h 38^m14; Max. 0^h 38^m95, A_m 3·2 mm; E. 1^h 1^m91.
E... B. 0^h 37^m46; Max. 0^h 38^m14, A_m 4·3 mm; E. 1^h 2^m74.

Nr. 139. 8. Juli 1902:

N... Von 15^h 20^m74 bis 16^h 36^m02 Anschwellung;
Max. 16^h 2^m70 bis 16^h 11^m04, A_m 1·8 mm;

V... Schwache Unruhe.

E... Ruhig.

Nr. 140. 9. Juli 1902:

(> N... B. 4^h 50^m30, M_1 4^h 50^m98, A_1 2·0 mm;
 M_2 5^h 0^m25, A_2 5·1 mm;
Max. 5^h 2^m56, A_m 5·4 mm;
 M_4 5^h 7^m33, A_4 5·3 mm;

bei 5^h 17^m98 noch eine A 2·6 mm; folgen noch einige sehr schwache Stöße; E. 5^h 54^m80.

V... B. 4^h 46^m91; M_1 4^h 51^m27, A_1 1·9 mm;
Max. 5^h 0^m81, A_m 4·0 mm;

bei 5^h 22^m36 noch eine A 2·0 mm; E. 5^h 37^m36.

E... B. 4^h 44^m73; M_1 4^h 51^m55, A_1 2·0 mm;

infolge Kreuzung mit anderen Kurven weitere Messungen unmöglich.

Nr. 141. 9. Juli 1902:

> N... B. 19^h 41^m56; M_1 19^h 42^m41, A_1 2·2 mm;
Max. 19^h 46^m45, A_m 3·4 mm;
E. 20^h 14^m22.
V... B. 19^h 42^m56; Max. 19^h 42^m98, A_m 3·6 mm;
E. 19^h 54^m97.
E... B. 19^h 40^m76; Max. 19^h 43^m27, A_m 4·2 mm;
E. 20^h 5^m59.

Nr. 142. 13. Juli 1902:

(> N... B. unbestimmbar; Max. 13^h 17^m88, A_m 4·7 mm;
 M_2 13^h 22^m00, A_2 4·5 mm;
E. wegen des folgenden Bebens unbestimmbar.
V... B. unbestimmbar; Max. 13^h 22^m43, A_m 2·3 mm;
E. 13^h 36^m47.
E... Mehrere schwache Knotenbildungen, A_m 1·4 mm.

Nr. 143. 13. Juli 1902:

> N... B. durch das vorangehende Beben gestört;
Max. 13^h 48^m46 bis 13^h 49^m69, A_m 2·0 mm;
E. 14^h 9^m06.
V... B. 13^h 49^m98; Max. 13^h 50^m27 bis 13^h 51^m77,
 A_m 2·1 mm; E. 14^h 6^m60.
E... B. 13^h 48^m21; Max. 13^h 49^m31, A_m 3·2 mm;
E. 14^h 21^m16.

Nr. 144. 15. Juli 1902:

- (> N... B. 9^h 0^m48; Max. 9^h 4^m09, A_m 2·0 mm; E. 9^h 36^m51.
V... B. 8^h 57^m71; Max. 9^h 6^m32, A_m 1·9 mm; E. 9^h 31^m26.
E... Ruhig.

Nr. 145. 19. Juli 1902:

- <> N... B. 23^h 40^m24; Max. 23^h 45^m11, A_m 1·3 mm;
E. 23^h 50^m66.
V... Schwache Unruhe, A_m kaum 1·0 mm.
E... » » » » 1·0 mm.

Nr. 146. 20. Juli 1902:

- N... Zwischen 9^h 34^m93 und 9^h 44^m03 eine Anschwellung; A_m 1·1 mm.
V... Zwischen 9^h 33^m41 und 9^h 47^m12 eine Anschwellung; A_m 1·6 mm.
E... Zwischen 9^h 29^m79 und 9^h 46^m58 eine Anschwellung; A_m 1·1 mm.

Nr. 147. 20. Juli 1902:

- (> N... B. 10^h 1^m11; M_1 10^h 4^m00, A_1 2·1 mm;
 M_2 10^h 7^m71, A_2 4·0 mm;
Max. 10^h 11^m56, A_m 7·0 mm;
 M_4 10^h 17^m06, A_4 5·4 mm;
 M_5 10^h 29^m59, A_5 2·6 mm;
 M_6 10^h 32^m07, A_6 2·9 mm;
 M_7 10^h 37^m85, A_7 2·8 mm;

von 10^h 43^m35 bis 11^h 12^m26 eine neue Reihe von Stößen mit A_m 2·4 mm; E. unbestimmbar.

- V... B. unbestimmbar; M_1 10^h 6^m21, A_1 1·6 mm;
Max. 10^h 11^m99, A_m 3·7 mm;
 M_3 10^h 16^m12, A_3 2·7 mm;
 M_4 10^h 22^m17, A_4 2·5 mm;
 M_5 10^h 30^m70, A_5 2·0 mm;
E. 10^h 53^m27.

E... Von 10^h 3^m47 bis 10^h 11^m18 knotenförmige Anschwellungen; A_m 1·6 mm bei 10^h 5^m67.

Nr. 148. 21. Juli 1902:

- N... Von 10^h 45^m78 bis 11^h 17^m64 leichte Anschwellung;
Max. 10^h 50^m73, A_m 1·2 mm.
V... Ruhig.
E... Schwache Unruhe.

Nr. 149. 22. Juli 1902:

- > N... B. 14^h 15^m91; M_1 14^h 17^m00, A_1 3·7 mm;
Max. 14^h 20^m02, A_m 4·0 mm;
E. 14^h 32^m35.
V... B. 14^h 16^m47; Max. 14^h 18^m25, A_m 2·7 mm;
E. 14^h 34^m01.
E... B. 14^h 15^m66; Max. 14^h 17^m03, A_m 3·5 mm;
E. 14^h 38^m94.

Nr. 150. 23. Juli 1902:

- > N... B. 13^h 56^m35; Max. 13^h 56^m76, A_m 1·2 mm;
E. 14^h 9^m34.
V... Kaum bemerkbare Anschwellung.
E... B. 13^h 54^m42; Max. 13^h 55^m53, A_m 2·1 mm;
E. 14^h 10^m49.

Nr. 151. 28. Juli 1902:

- > N... B. 0^h 39^m72; Max. 0^h 41^m40, A_m 1·6 mm;
E. 0^h 56^m71.
V... B. 0^h 40^m01; Max. 0^h 41^m40, A_m 1·1 mm;
E. 0^h 55^m61.
E... B. 0^h 39^m61; Max. 0^h 40^m45, A_m 3·7 mm;
E. 1^h 0^m63.

Nr. 152. 29. Juli 1902:

- > N... B. 2^h51^m13; Max. 2^h51^m81, A_m 2.0 mm;
E. 3^h14^m53.
V... B. 2^h51^m69; Max. 2^h56^m45, A_m 1.4 mm;
E. 3^h6^m65.
E... B. 2^h51^m15; Max. 2^h51^m97, A_m 1.7 mm;
E. 3^h15^m64.

Nr. 153. 29. Juli 1902:

- <> N... B. 18^h46^m76; Max. 18^h51^m90, A_m 1.1 mm;
E. 19^h5^m96.
V... B. 18^h47^m32; Max. 18^h54^m08, A_m 1.0 mm;
E. 18^h59^m49.
E... Kaum bewegt.

Nr. 154. 2. August 1902:

- > N... B. 7^h12^m29; Max. 7^h13^m83, A_m 1.8 mm; E. 7^h32^m06.
V... B. 7^h13^m42; Max. 7^h14^m26, A_m 1.5 mm; E. 7^h32^m35.
E... B. 7^h12^m74; Max. 7^h13^m58, A_m 2.0 mm; E. 7^h37^m42.

Nr. 155. 2. August 1902:

- > N... B. 15^h46^m94; M_1 15^h48^m20, A_1 1.5 mm;
Max. 15^h57^m45, A_m 4.8 mm;
 M_3 16^h4^m32, A_3 2.5 mm;
 M_4 16^h12^m03, A_4 1.7 mm;

hierauf eine Reihe schwächerer Stöße mit A 1.0 mm
bis 16^h22^m55; von 16^h30^m95 bis 16^h47^m78
eine zweite Anschwellung mit A_m 1.2 mm;
E. 16^h49^m18.

V... Von 15^h42^m18 bis 16^h8^m82 mehrere Anschwellungen
mit A_m 1.5 mm; schwache Unruhe dauert jedoch
fort bis 16^h48^m07.

E... Ruhig.

Nr. 156. 2. und 3. August 1902:

- > N... B. 23^h56^m04; M_1 23^h56^m87, A_1 1.7 mm;
 M_2 0^h0^m05, A_2 2.2 mm;
 M_3 0^h15^m48, A_3 2.4 mm;
Max. 0^h21^m97, A_m 3.6 mm;

folgen fast ebenso starke Stöße bis 0^h33^m01;

- M_5 0^h35^m77, A_5 2.4 mm;
E. 1^h37^m83.

- V... B. 23^h56^m61; M_1 23^h57^m43, A_1 1.7 mm;
Max. 23^h58^m81, A_m 2.8 mm;

- M_3 0^h11^m49, A_3 2.3 mm;
 M_4 0^h22^m67, A_4 2.4 mm;

- M_5 0^h29^m56, A_5 2.7 mm;
 M_6 0^h32^m06, A_6 2.3 mm;

- E. 0^h58^m12.

- E... B. 23^h55^m79; Max. 23^h57^m45, A_m 1.8 mm;
von 0^h9^m31 bis 0^h18^m96 A_m 1.7 mm;
E. 0^h47^m93.

Nr. 157. 3. August 1902:

- <> N... B. 2^h51^m17; M_1 2^h55^m37, A_1 1.1 mm;
Max. 3^h7^m14, A_m 3.4 mm;
 M_3 3^h23^m97, A_3 2.3 mm;
 M_4 3^h33^m50, A_4 2.6 mm;
 M_5 3^h39^m67, A_5 2.3 mm; E. 4^h8^m55.

- V... B. 2^h52^m30; M_1 2^h54^m54, A_1 1.1 mm;
Max. 3^h3^m37, A_m 3.0 mm;
 M_3 3^h9^m96, A_3 2.6 mm;
 M_4 3^h23^m69, A_4 2.5 mm;
 M_5 3^h35^m89, A_5 2.7 mm; E. 3^h47^m81.

- E... B. 2^h51^m48; M_1 2^h52^m60, A_1 1.5 mm;
Max. 3^h7^m73, A_m 2.1 mm; E. 3^h27^m64.

Schwache Unruhe dauert fort.

Nr. 158. 3. August 1902:

(> N... B. 17^h 59^m 14; M_1 17^h 59^m 96, A_1 1.0 mm;
 M_2 18^h 6^m 24, A_2 2.2 mm;
Max. 18^h 10^m 20, A_m 11.8 mm;
 M_4 18^h 13^m 47, A_4 8.4 mm;
 M_5 18^h 17^m 04, A_5 8.6 mm;
 M_6 18^h 26^m 87, A_6 8.8 mm;
 M_7 18^h 30^m 30, A_7 9.0 mm;
 M_8 18^h 38^m 77, A_8 4.5 mm;
 M_9 18^h 50^m 93, A_9 4.0 mm;
E. 19^h 24^m 70.

V... B. 17^h 59^m 57; M_1 18^h 0^m 79, A_1 1.4 mm;
Max. 18^h 9^m 81, A_m 6.0 mm;
 M_3 18^h 19^m 24, A_3 3.8 mm;
 M_4 18^h 23^m 75, A_4 4.0 mm;
 M_5 18^h 32^m 10, A_5 3.0 mm;
 M_6 18^h 44^m 52, A_6 2.4 mm;
E. 19^h 5^m 85.

E... B. 17^h 59^m 30; M_1 17^h 59^m 71, A_1 2.4 mm;
 M_2 18^h 6^m 54, A_2 3.5 mm;
Max. 18^h 9^m 81, A_m 7.4 mm;
 M_4 18^h 20^m 48, A_4 3.5 mm;
 M_5 18^h 28^m 81, A_5 2.0 mm;
E. 18^h 47^m 54.

Unruhe anhaltend.

Nr. 159. 4. August 1902:

<> N... B. 11^h 12^m 98; M_1 11^h 14^m 78, A_1 1.5 mm;
 M_2 11^h 16^m 60, A_2 2.0 mm;
Max. 11^h 29^m 64, A_m 2.3 mm;
 M_4 11^h 54^m 10, A_4 1.7 mm;
E. 12^h 2^m 43.

V... B. 11^h 12^m 57; eine Reihe schwacher Anschwellungen, A_m 1.3 mm; E. 11^h 59^m 95.

E... Von 11^h 13^m 56 bis 12^h 0^m 80 einige schwache Anschwellungen, A_m 1.4 mm.

Nr. 160. 4. August 1902:

(> N... B. 23^h 37^m 16; Max. 23^h 40^m 23, A_m 3.0 mm;
E. 24^h 9^m 39.
V... B. 23^h 37^m 59; Max. 23^h 40^m 52, A_m 1.8 mm;
E. 24^h 2^m 74.
E... B. 23^h 37^m 20; Max. 23^h 38^m 30, A_m 1.5 mm;
E. 23^h 46^m 93.

Folgt andauernde schwache Unruhe.

Nr. 161. 6. August 1902:

> N... B. 10^h 58^m 21; Max. 10^h 59^m 70, A_m 1.8 mm;
E. 11^h 29^m 49.
V... B. 10^h 59^m 31; Max. 10^h 59^m 99, A_m 3.2 mm;
E. 11^h 16^m 24.
E... B. 10^h 58^m 09; Max. 10^h 59^m 59, A_m 1.2 mm;
E. 11^h 10^m 28.

Nr. 162. 7. August 1902:

(> N... B. 8^h 56^m 98; M_1 8^h 57^m 26, A_1 1.4 mm;
 M_2 9^h 3^m 16, A_2 2.3 mm;
Max. 9^h 11^m 87, A_m 3.0 mm;
 M_4 9^h 19^m 04, A_4 2.0 mm; E. 9^h 42^m 22.
V... B. 8^h 57^m 27; M_1 8^h 57^m 55, A_1 1.3 mm;
 M_2 9^h 2^m 47, A_2 2.5 mm;
Max. 9^h 7^m 39, A_m 3.0 mm; E. 9^h 22^m 84.
E... B. 8^h 57^m 29; Max. 9^h 5^m 30, A_m 1.3 mm;
E. 9^h 16^m 68.

Nr. 163. 7. August 1902:

(> N... Zwischen 13^h 12^m 51 und 13^h 32^m 20 eine Reihe schwacher Stöße mit A_m 1.2 mm.
V... Zwischen 13^h 12^m 95 und 13^h 33^m 88 mehrere schwache Stöße;

Max. 13^h 14^m 06, A_m 1.4 mm.

E... Ruhig.

Nr. 164. 7. August 1902:

- (> N... B. 18^h 55^m22; Max. 18^h 56^m32 bis 18^h 57^m70,
 A_m 0.9 mm; E. 19^h 10^m02.
V... Leichte Anschwellung von 18^h 55^m51 bis 19^h 9^m62.
E... Leichte Anschwellung von 18^h 55^m11 bis 19^h 0^m87.

Nr. 165. 8. August 1902:

- N... Von 11^h 11^m33 bis 11^h 28^m34 leichte Anschwellung,
 A_m 0.9 mm.
V... Kaum bewegt.
E... Ruhig.

Nr. 166. 8. August 1902:

- N... Max. einer schwachen Anschwellung von 22^h 27^m09
bis 22^h 29^m66, A_m 1.0 mm.
V... Schwache Anschwellung von 22^h 27^m80 bis 22^h 32^m77;
Max. 22^h 29^m54, A_m 1.4 mm.
E... Ruhig.

Nr. 167. 9. August 1902:

- <> N... B. 16^h 2^m70; Max. 16^h 19^m57 bis 16^h 25^m10,
 A_m 1.2 mm; E. 16^h 32^m01.
V... Von 16^h 1^m89 bis 16^h 24^m01 leichte Anschwellung,
 A_m 1.2 mm.
E... Ruhig.

Nr. 168. 10. August 1902:

- N... Von 21^h 44^m10 bis 22^h 5^m67 leichte Anschwellung,
 A_m 1.2 mm.
V... Sehr schwache Unruhe.
E... Ruhig.

Nr. 169. 12. August 1902:

- <> N... B. 18^h 26^m94; M_1 18^h 29^m41, A_1 1.2 mm;
 M_2 18^h 31^m20, A_2 2.5 mm;
Max. 18^h 36^m00, A_m 3.2 mm;
 M_4 18^h 46^m96, A_4 2.7 mm;
E. 19^h 29^m42.
V... B. 18^h 27^m23; Max. 18^h 34^m92, A_m 3.8 mm;
hierauf eine Reihe Stöße mit A_m 1.4 mm; E. unbestimmbar.
E... B. 18^h 26^m15; Max. 18^h 33^m28, A_m 2.0 mm;
E. 19^h 1^m78.
Schwache Unruhe anhaltend.

Nr. 170. 13. August 1902:

- > N... B. 5^h 22^m59; Max. 5^h 23^m69, A_m 3.2 mm; E. 6^h 8^m43.
V... B. 5^h 22^m88; Max. 5^h 23^m85, A_m 2.3 mm; E. 5^h 31^m22.
E... Ruhig.

Nr. 171. 13. August 1902:

- > N... B. 13^h 8^m40; Max. 13^h 10^m05, A_m 3.8 mm;
 M_2 13^h 16^m93, A_2 2.7 mm;
E. 13^h 51^m33.
V... B. 13^h 9^m23; Max. 13^h 10^m48, A_m 7.2 mm;
E. 14^h 8^m13.
E... B. 13^h 8^m15; Max. 13^h 9^m94, A_m 2.2 mm;
E. 13^h 49^m70.

Nr. 172. 13. August 1902:

- > N... B. 14^h 26^m11; Max. 14^h 27^m47, A_m 1.2 mm;
E. 14^h 39^m82.
V... B. 14^h 27^m08; Max. 14^h 27^m90, A_m 1.6 mm;
E. 14^h 41^m47.
E... Schwache, kaum A_m 1.0 mm erreichende Unruhe.

Nr. 173. 16. August 1902:

- > N... B. 9^h25^m66; M_1 9^h27^m31, A_1 8·8 mm;
Max. 9^h28^m84, A_m 10·0 mm;
 M_3 9^h37^m96, A_3 3·8 mm;
 M_4 9^h47^m22, A_4 3·2 mm;
 M_5 9^h59^m80, A_5 6·2 mm;
 M_6 10^h13^m49, A_6 3·4 mm;
E. 11^h10^m45.
V... B. 9^h25^m95; M_1 9^h26^m36, A_1 1·5 mm;
Max. 9^h28^m56, A_m 2·4 mm;
 M_3 9^h35^m49, A_3 2·0 mm;
 M_4 9^h56^m37, A_4 2·0 mm;
E. 10^h36^m17.
E... B. 9^h25^m13; Max. 9^h28^m59, A_m 2·5 mm;
E. 11^h10^m20.

Nr. 174. 21. August 1902:

- (> N... B. 12^h38^m78; M_1 12^h40^m56, A_1 2·9 mm;
Max. 12^h54^m15, A_m 3·5 mm;
 M_3 13^h 8^m02, A_3 2·4 mm;
von 13^h18^m59 bis 13^h46^m05 eine Reihe schwächerer
Stöße mit A_m 1·8 mm; E. 13^h50^m17.
V... B. 12^h38^m25; Max. 12^h44^m15, A_m 3·0 mm;
E. unbestimmbar.
E... Ruhig.

Nr. 175. 22. August 1902:

- (> NB. Eigentlich zwei Störungen enthaltend.
N... B. 4^h8^m56; M_1 4^h9^m81, A_1 9·5 mm;
es treten äußerst heftige Schwingungen auf; bei
4^h25^m02 noch ein Maximum von 41·0 mm
ersichtlich; Lichtpunkt verschwindet aus der
Papierfläche.

V... B. 4^h8^m41; M_1 4^h9^m38, A_1 4·0 mm;

Aufzeichnung wird undeutlich; es findet eine Pendel-
versetzung statt und zwar nach Nordwesten
im Betrage von 9·1 mm. Bei 5^h7^m30 Pendel-
schwingungen bemerkbar mit A 14·0 mm;
Bewegung nimmt ab, bis bei 5^h17^m54 nur
mehr A von 5·0 mm vorkommt. Abermalige
Zunahme, bei 5^h58^m19, A 19·0 mm; hierauf
rasche Abnahme bis 6^h4^m50; folgt eine neue
Reihe jedoch schwächerer Stöße; E. 6^h59^m87.

E... B. 4^h8^m29; M_1 4^h9^m13, A_1 4·5 mm;
 M_2 4^h14^m15, A_2 11·2 mm;

folgt eine Reihe heftiger Stöße mit Amplituden von
mehr als 10 mm bis 4^h33^m97; Bewegung wird
immer schwächer, bis bei 5^h14^m48 das Pendel
fast zur Ruhe gelangt.

Beginn einer neuen Bewegung bei 5^h18^m97; Max.
derselben 5^h39^m20, A_m 5·6 mm; E. 5^h59^m35;
schwache Unruhe anhaltend.

Nr. 176. 22. August 1902:

- <> N... B. 11^h6^m47; Max. 11^h10^m65, A_m 2·0 mm;
E. unbestimmbar.
V... B. 11^h5^m76; Max. 11^h10^m23, A_m 1·4 mm;
E. unbestimmbar.
E... Leicht bewegt.

Nr. 177. 22. August 1902:

- <> NB. Eigentlich zwei Störungen.
N... B. unbestimmbar; M_1 16^h35^m19, A_1 1·4 mm;
Abnahme, hierauf Zunahme;
Max. 17^h9^m09, A_m 4·3 mm; E. 17^h39^m85.

V... B. unbestimmbar; M_1 16^h 35^m 31, A_1 1.3 mm;

Abnahme, hierauf Zunahme;

Max. 17^h 8^m 80, A_m 1.6 mm; E. 17^h 21^m 56.

E... Fast ruhig.

Nr. 178. 22. August 1902:

<> N... B. 18^h 12^m 34; Max. 18^h 20^m 31, A_m 3.0 mm;

E. 18^h 40^m 90.

Schwache Unruhe folgt.

V... B. 18^h 14^m 25; Max. 18^h 19^m 74, A_m 2.2 mm;

E. 18^h 39^m 24.

E... Sehr schwache Unruhe.

Nr. 179. 23. August 1902:

Schwache Unruhe, besonders

N... Von 4^h 52^m 06 bis 5^h 1^m 92, A_m 1.2 mm.

V... Von 4^h 55^m 60 bis 4^h 59^m 72, A_m 1.0 mm.

Nr. 180. 23. August 1902:

(> N... B. 14^h 15^m 66; M_1 14^h 17^m 43, A_1 1.6 mm;

M_2 14^h 21^m 36, A_2 1.9 mm;

M_3 14^h 25^m 30, A_3 3.4 mm;

Max. 14^h 27^m 88, A_m 5.6 mm;

M_5 14^h 33^m 04, A_5 2.6 mm;

M_6 14^h 49^m 33, A_6 1.4 mm;

E. 14^h 56^m 12.

Folgt schwache Unruhe.

V... B. 14^h 15^m 64; M_1 14^h 16^m 45, A_1 1.0 mm;

M_2 14^h 24^m 07, A_2 2.4 mm;

Max. 14^h 30^m 30, A_m 3.0 mm;

M_4 14^h 36^m 95, A_4 2.6 mm;

M_5 14^h 43^m 60, A_5 1.4 mm;

E. 14^h 56^m 50.

E... Schwache Unruhe, A_m 1.3 mm.

Nr. 181. 24. August 1902:

<> N... B. 2^h 50^m 20; M_1 2^h 55^m 87, A_1 1.3 mm;

M_2 3^h 17^m 15, A_2 2.9 mm;

M_3 3^h 26^m 28, A_3 2.5 mm;

Max. 3^h 29^m 74, A_m 4.0 mm;

M_5 3^h 36^m 92, A_5 2.7 mm;

hierauf bis 3^h 55^m 72 noch einige mindere Stöße mit

A_m 1.6 mm; E. 4^h 14^m 39.

V... B. 2^h 52^m 25; mehrere schwache Stöße mit

A_m 1.3 mm; E. 4^h 0^m 27.

E... Ruhig.

Nr. 182. 24. August 1902:

N... B. 10^h 22^m 98; Max. 10^h 27^m 34, A_m 1.0 mm;

E. 10^h 44^m 80.

V... Sehr schwache Unruhe.

E... Ruhig.

Nr. 183. 25. August 1902:

N... Von 14^h 3^m 95 bis 14^h 51^m 04 schwache Anschwellungen;

Max. 14^h 18^m 75, A_m 1.5 mm.

V... Von 14^h 1^m 77 bis 14^h 44^m 02 schwache Anschwellungen;

Max. 14^h 8^m 24, A_m 1.3 mm.

E... Ruhig.

Nr. 184. 25. August 1902:

N... Schwache Anschwellung;

Max. 16^h 14^m 51 bis 16^h 21^m 55; A_m 1.1 mm.

V... Kaum bewegt.

E... Ruhig.

Nr. 185. 28. August 1902:

<> N... B. 7^h 35^m74; Max. 7^h 43^m28, A_m 1·2 mm;
E. 8^h 12^m44.

V... Fast ruhig.

E... » »

Nr. 186. 29. August 1902:

<> N... B. 15^h 56^m12, M_1 16^h 6^m23, A_1 1·5 mm;
 M_2 16^h 24^m65, A_2 2·0 mm;
Max. 16^h 35^m87, A_m 3·8 mm;
 M_4 16^h 41^m56, A_4 3·0 mm;
 M_5 16^h 47^m66, A_5 2·5 mm;
E. 17^h 5^m40.

V... B. 15^h 55^m27, Max. 16^h 35^m73, A_m 3·0 mm.
E. 16^h 59^m29.

E... Ruhig.

Nr. 187. 30. August 1902:

<> N... B. 8^h 44^m87; M_1 8^h 49^m01, A_1 1·4 mm;
Max. 9^h 15^m08, A_m 2·5 mm;
E. 9^h 37^m97.

V... B. 8^h 44^m99; Max. 9^h 9^m40, A_m 1·1 mm;
E. 9^h 21^m13.

E... Ruhig.

Nr. 188. 30. August 1902:

<> N... B. 21^h 47^m06; Max. 21^h 49^m72, A_m 1·9 mm;
E. 22^h 15^m19.

V... Ruhig.

E... B. 21^h 45^m83; Max. 21^h 46^m52 bis 21^h 53^m76,
 A_m 1·1 mm; E. 22^h 0^m72.

Nr. 189. 30. August 1902:

<> N... B. 22^h 57^m22; M_1 22^h 59^m00, A_1 10·4 mm;
 M_2 23^h 4^m19, A_2 11·0 mm;
 M_3 23^h 8^m39, A_3 14·0 mm;

Aufzeichnung wird undeutlich, daher Maximum nicht bestimmbar; wieder entnehmbar wird Aufzeichnung bei 23^h 36^m43 mit A 6·0 mm. Bewegung nimmt ab bis 23^h 41^m34, hierauf neuerliche Zunahme,

M_4 23^h 52^m42, A_4 9·0 mm;

M_5 24^h 6^m16, A_5 3·5 mm;

es folgen noch einige schwächere Stöße mit A_m 2·5 mm; E. 24^h 46^m52.

V... B. 22^h 56^m93; M_1 22^h 58^m17, A_1 4·5 mm;

M_2 23^h 0^m21, A_2 14·0 mm;

Zeichnung auch hier undeutlich; bei 23^h 36^m14 A_m 10·0 mm;

M_3 23^h 47^m50, A_3 4·5 mm;

M_4 23^h 48^m90, A_4 5·0 mm;

M_5 23^h 55^m63, A_5 2·4 mm;

E. 24^h 21^m01.

E... B. 22^h 56^m68; M_1 22^h 58^m05, A_1 3·4 mm;

M_2 22^h 59^m96, A_2 4·6 mm;

M_3 23^h 5^m05, A_3 4·8 mm;

Max. 23^h 8^m69, A_m 5·0 mm;

M_5 23^h 15^m84, A_5 3·6 mm;

M_6 23^h 24^m53, A_6 2·8 mm;

E. 23^h 38^m70.

Nr. 190. 31. August 1902:

<> N... B. 13^h 46^m96; M_1 13^h 53^m49, A_1 1·2 mm;

Max. 13^h 56^m58, A_m 2·3 mm;

M_3 14^h 0^m07, A_3 2·0 mm;

E. 14^h 31^m68.

V... B. 13^h 53^m93; schwache Unruhe jedoch schon früher bemerkbar;

Max. 13^h 56^m01, A_m 1·1 mm; E. 14^h 18^m26.

E... Ruhig.

Nr. 191. 31. August 1902:

<> N... B. 18^h 58^m 56; M₁ 19^h 1^m 47, A₁ 1·1 mm;
Max. 19^h 13^m 65, A_m 4·4 mm;
E. 19^h 30^m 57.

V... Schwache Unruhe.

E... Ruhig.

Nr. 192. 3. September 1902:

> N... B. 21^h 18^m 18; Max. 21^h 19^m 59, A_m 7·2 mm;
M₂ 21^h 23^m 78, A₂ 3·4 mm;
M₃ 21^h 28^m 55, A₃ 3·0 mm;
E. 21^h 53^m 44.

V... B. 21^h 18^m 33; M₁ 21^h 19^m 59, A₁ 4·0 mm;
Max. 21^h 22^m 38, A_m 5·0 mm;
M₃ 21^h 27^m 69, A₃ 3·7 mm;
E. 21^h 43^m 35.

E... B. 21^h 17^m 94; Max. 21^h 19^m 48, A_m 5·0 mm;
M₂ 21^h 22^m 13, A₂ 4·0 mm;
E. 21^h 47^m 31.

Nr. 193. 4. September 1902:

N... Leichte Anschwellung von 1^h 57^m 77 bis 2^h 21^m 61,
A_m 1·0 mm.

V... Ruhig.

E... Kaum bewegt.

Nr. 194. 4. September 1902:

N... Von 9^h 49^m 25 bis 10^h 11^m 18 schwache Anschwellung,
A_m 0·9 mm.

V... Von 9^h 50^m 34 bis 9^h 59^m 79 schwache Anschwellung,
A_m 0·9 mm.

E... Ruhig.

Nr. 195. 6. September 1902:

> N... B. 0^h 7^m 83; M₁ 0^h 8^m 95, A₁ 4·5 mm;
Max. 0^h 11^m 73, A_m 8·4 mm;
M₃ 0^h 15^m 48, A₃ 3·0 mm;
M₄ 0^h 19^m 66, A₄ 3·4 mm;
M₅ 0^h 26^m 90, A₅ 2·0 mm; E. 0^h 51^m 96.
V... B. 0^h 7^m 82; Max. 0^h 12^m 55, A_m 11·8 mm;
M₂ 0^h 16^m 87, A₂ 4·5 mm; E. 0^h 39^m 14.
E... B. 0^h 7^m 57; Max. 0^h 11^m 05, A_m 8·0 mm;
M₂ 0^h 14^m 39, A₂ 6·0 mm; E. 0^h 41^m 67.

Nr. 196. 6. September 1902:

N... Von 19^h 14^m 39 bis 19^h 42^m 10 schwache Anschwellung,
A_m 1·0 mm.

V... Kaum bemerkbare Unruhe.

E... » » »

Nr. 197. 7. September 1902:

> N... B. 2^h 36^m 21; Max. 2^h 38^m 11, A_m 1·8 mm;
E. 2^h 56^m 52.
V... Sehr schwache Unruhe.
E... Ruhig.

Nr. 198. 10. September 1902:

> N... B. 10^h 8^m 03; Max. 10^h 11^m 55, A_m 16·5 mm;
M₂ 10^h 13^m 17, A₂ 12·5 mm;
E. 10^h 41^m 48.
V... B. 10^h 8^m 28; M₁ 10^h 11^m 39, A₁ 5·0 mm;
Max. 10^h 13^m 82, A_m 8·0 mm;
E. 10^h 37^m 13.
E... B. 10^h 7^m 62; M₁ 10^h 11^m 01, A₁ 7·5 mm;
Max. 10^h 12^m 22, A_m 8·0 mm;
E. 10^h 40^m 94.

Unruhe anhaltend.

Nr. 199. 11. September 1902:

N... Von 4^h 17^m 69 bis 4^h 54^m 92 leichte Anschwellung;
Max. 4^h 31^m 30, A_m 1.6 mm

V... Schwache Anschwellung;

Max. 4^h 20^m 19 bis 4^h 22^m 40, A_m 1.0 mm.

E... Fast ruhig.

Nr. 200. 15. September 1902:

<> N... B. 7^h 42^m 56; Max. 7^h 54^m 71, A_m 2.2 mm; E. 8^h 34^m 47.

V... Schwache Unruhe.

E... Fast ruhig.

Nr. 201. 16. September 1902:

Wegen Streifenabnahme ist der Beginn dieser Störung nicht bestimmbar. Bei der Abnahme des alten Streifens, 12^h 4^m, keine Bewegung bemerkbar, am neuen Streifen um 12^h 16^m Pendel bereits in Bewegung.

N... M_1 12^h 28^m 50, A_1 3.4 mm;

M_2 12^h 36^m 35, A_2 3.3 mm;

Max. 12^h 40^m 28 und 12^h 42^m 24, A_m 6.2 mm;

M_4 12^h 48^m 13, A_4 3.3 mm;

M_5 12^h 54^m 16, A_5 3.0 mm;

M_6 12^h 58^m 22, A_6 2.8 mm;

M_7 13^h 6^m 91, A_7 1.2 mm; E. 13^h 37^m 47.

V... M_1 12^h 28^m 49, A_1 2.8 mm;

M_2 12^h 30^m 32, A_2 3.2 mm;

Max. 12^h 36^m 62, A_m 5.1 mm;

M_4 12^h 41^m 67, A_4 2.5 mm;

M_5 12^h 44^m 48, A_5 2.4 mm;

zwischen 12^h 56^m 53 und 13^h 13^m 35 eine neue Anschwellung mit A_m 1.0 mm; E. 13^h 16^m 15.
Schwache Unruhe noch anhaltend.

E... Schwache Unruhe, A_m 1.2 mm.

Nr. 202. 18. September 1902:

<> N... B. 20^h 6^m 43; M_1 20^h 17^m 61, A_1 1.2 mm;
Max. 20^h 27^m 57, A_m 2.4 mm;

M_3 20^h 31^m 65, A_3 2.3 mm;
E. 21^h 3^m 97.

V... B. unbestimmbar; Max. 20^h 23^m 60, A_m 1.5 mm;
E. 21^h 3^m 68.

E... Sehr schwache Unruhe.

Nr. 203. 19. September 1902:

> N... B. 0^h 53^m 68; Max. 0^h 54^m 51, A_m 2.0 mm; E. 1^h 9^m 88.
V... Ruhig.

E... Sehr schwache Unruhe.

Nr. 204. 20. September 1902:

(> N... B. 7^h 38^m 06; M_1 7^h 38^m 75, A_1 1.2 mm;

M_2 7^h 44^m 33, A_2 4.0 mm;

M_3 7^h 49^m 91, A_3 5.8 mm;

M_4 7^h 53^m 12, A_4 6.8 mm;

M_5 7^h 59^m 67, A_5 9.5 mm;

Max. 8^h 3^m 03, A_m 10.5 mm;

M_7 8^h 7^m 76, A_7 4.0 mm; E. 9^h 6^m 79.

V... B. 7^h 37^m 77; M_1 7^h 38^m 60, A_1 1.1 mm;

M_2 7^h 41^m 39, A_2 3.5 mm;

Aufzeichnung wird undeutlich, bei 8^h 3^m 15 sichtbar
 A 3.7 mm; folgt eine Reihe schwächer werdender Stöße; E. 8^h 56^m 73.

E... B. 7^h 41^m 14; M_1 7^h 42^m 54, A_1 2.5 mm;

M_2 7^h 49^m 23, A_2 4.4 mm;

Max. 7^h 52^m 44, A_m 5.6 mm;

M_4 8^h 2^m 49, A_4 2.1 mm;

E. infolge fortwährender Unruhe nicht bestimmbar.

Nr. 205. 22. September 1902:

> N... B. 3^h2^m94; M₁ 3^h4^m20, A₁ 1.9 mm;
M₂ 3^h7^m13, A₂ 8.6 mm;

Aufzeichnung wird undeutlich, ersichtlich eine große Reihe Maxima mit Amplituden von mehr als 18 mm. Aufzeichnungen werden wieder sichtbarer bei 4^h8^m17 mit A 9.0 mm;

M₃ 4^h13^m61, A₃ 7.0 mm;

M₄ 4^h17^m69, A₄ 5.0 mm;

M₅ 4^h26^m13, A₅ 5.4 mm;

folgt eine Reihe an Stärke abnehmender Stöße, bis bei 5^h1^m23 noch A 2.5 mm bemerkbar ist. Bewegung wird immer schwächer; E. 5^h51^m57.

V... B. 3^h2^m22; M₁ 3^h2^m93, A₁ 1.1 mm;

M₂ 3^h6^m27, A₂ 3.3 mm;

M₃ 3^h8^m93, A₃ 6.2 mm;

Aufzeichnungen werden undeutlich, Amplituden mit mehr als 6 mm ersichtlich. Aufzeichnung wird wieder sichtbar bei 4^h7^m74 mit A 3.0 mm. Eine schwache Zunahme der Bewegung ersichtlich von 4^h17^m94 bis 4^h30^m33 mit A_m 2.0 mm bei 4^h25^m30 und 4^h26^m52. Bewegung nimmt kontinuierlich ab; E. unbestimmbar.

E... B. 3^h3^m80; Max. 3^h8^m82, A_m 8.0 mm;

auch hier werden Aufzeichnungen undeutlich, ersichtlich Amplituden mit mehr als 7 mm; Aufzeichnungen entnehmbarer bei 3^h26^m17 mit 3.5 mm;

M₂ 3^h33^m16, A₂ 3.0 mm;

M₃ 3^h44^m48, A₃ 2.3 mm;

M₄ 3^h46^m87, A₄ 1.8 mm;

M₅ 3^h50^m92, A₅ 2.2 mm;

E. unbestimmbar.

Nr. 206. 23. September 1902:

> N... B. 21^h32^m10; M₁ 21^h32^m93, A₁ 8.6 mm;

M₂ 21^h36^m43, A₂ 9.6 mm;

M₃ 21^h44^m94, A₃ 14.7 mm;

Max. 21^h52^m89, A_m 28.0 mm;

M₅ 22^h0^m57, A₅ 15.8 mm;

M₆ 22^h14^m86, A₆ 16.0 mm;

M₇ 22^h22^m91, A₇ 9.0 mm;

M₈ 22^h47^m30, A₈ 6.5 mm;

M₉ 22^h55^m05, A₉ 4.0 mm;

Stöße werden immer schwächer; E. 24^h33^m72.

V... B. 21^h31^m95; M₁ 21^h32^m78, A₁ 11.4 mm;

M₂ 21^h35^m86, A₂ 9.0 mm;

M₃ 21^h39^m90, A₃ 14.0 mm;

M₄ 21^h50^m23, A₄ 10.0 mm;

M₅ 21^h56^m79, A₅ 8.0 mm;

Max. 22^h7^m93, A_m 15.0 mm;

M₇ 22^h17^m34, A₇ 12.0 mm;

Bewegung läßt an Intensität nach, bei 22^h46^m73 nur mehr A 2.0 mm; E. 24^h33^m43.

Sehr schwache Unruhe anhaltend.

E... B. 21^h31^m70; M₁ 21^h32^m82, A₁ 6.0 mm;

M₂ 21^h35^m75, A₂ 4.2 mm;

M₃ 21^h40^m36, A₃ 4.5 mm;

Max. 21^h45^m40, A_m 9.5 mm;

M₅ 21^h52^m21, A₅ 5.0 mm;

M₆ 21^h55^m56, A₆ 4.0 mm;

M₇ 22^h6^m30, A₇ 3.0 mm;

M₈ 22^h11^m55, A₈ 3.3 mm;

M₉ 22^h15^m16, A₉ 2.8 mm;

E. wegen fortdauernder Unruhe nicht bestimmbar.

Nr. 216. 12. Oktober 1902:

Wegen unregelmäßigen Fallens der Stundenblende genaue Ausmessung der Störung unmöglich.

- > N... B. bei 9^h; A_m 2·2 mm.
V... Tagsüber mikroseismische Unruhe.
E... » » »

Nr. 217. 13. Oktober 1902:

Bemerkung wie bei Nr. 216.

- (> B. bei 13^h.
N... A_m 1·8 mm.
V... A_m 1·4 mm.
E... A_m 2·1 mm.

Nr. 218. 14. Oktober 1902:

Bemerkung wie bei Nr. 216.

- > B. zirka 14^h.
N... A_m 1·6 mm.
V... A_m 0·8 mm.
E... Andauernde mikroseismische Unruhe.

Nr. 219. 15. Oktober 1902:

Bemerkung wie bei Nr. 216.

- (> N... B. bei 9^h 30^m; A_m 2·3 mm.
V... Tagsüber mikroseismische Unruhe.
E... » » »

Nr. 220. 17. Oktober 1902:

- <> N... B. 8^h 31^m 83; Max. 8^h 40^m 76, A_m 1·0 mm; E. 8^h 46^m 66.
V... Schwache Anschwellung von 8^h 31^m 27 bis 8^h 38^m 13,
 A_m 0·9 mm.
E... Fast ruhig.

Nr. 221. 18. Oktober 1902:

- > N... B. 21^h 29^m 32; M_1 21^h 30^m 84, A_1 1·7 mm;
Max. 21^h 32^m 22, A_m 4·0 mm;
 M_3 21^h 33^m 33, A_3 3·9 mm;
 M_4 21^h 35^m 39, A_4 2·1 mm;

es folgen fast gleich starke Stöße bis 21^h 51^m 11;
E. wegen der folgenden Störung unbestimmbar.

- V... B. 21^h 29^m 72; M_1 21^h 30^m 41, A_1 1·3 mm;
 M_2 21^h 33^m 17, A_2 5·0 mm;
Max. 21^h 35^m 65, A_m 5·1 mm;
E. 21^h 49^m 44.

E... Tagsüber mikroseismische Unruhe.

Nr. 222. 18. Oktober 1902:

- N... Von 22^h 8^m 49 bis 22^h 23^m 16 eine Verdickung der Kurve; Max. bei 22^h 9^m 85, A_m 1·4 mm.
V... Von 22^h 9^m 97 bis 22^h 17^m 44 schwache Bewegung, A_m 1·0 mm.
E... Tagsüber mikroseismische Unruhe.

Nr. 223. 19. Oktober 1902:

- > N... B. 4^h 31^m 11; Max. 4^h 34^m 67, A_m 5·8 mm;
 M_2 4^h 36^m 99, A_2 3·8 mm;
 M_3 4^h 41^m 09, A_3 2·5 mm;
 M_4 4^h 47^m 64, A_4 2·0 mm;
E. 5^h 7^m 05.

- V... B. 4^h 31^m 38; M_1 4^h 32^m 33, A_1 1·2 mm;
 M_2 4^h 33^m 57, A_2 1·7 mm;
Max. 4^h 34^m 65, A_m 3·4 mm;
E. 5^h 1^m 30.

- E... B. 4^h 31^m 26; M_1 4^h 33^m 09, A_1 1·8 mm;
 M_2 4^h 37^m 82, A_2 1·8 mm;

E. unbestimmbar.

Nr. 224. 19. Oktober 1902:

<> N... B. 15^h29^m29; Max. 15^h38^m46, A_m 1.5 mm;
E. 15^h59^m02.

V... Von 15^h32^m70 bis 15^h45^m03 schwache Anschwellung, A_m 0.9 mm.

E... Von 15^h30^m80 bis 15^h44^m09 schwache Anschwellung, A_m 0.9 mm.

Nr. 225. 21. Oktober 1902:

<> N... B. 7^h49^m12; Max. 7^h53^m59, A_m 2.0 mm;
E. 8^h17^m09.

V... B. schwacher Anschwellungen bei 7^h48^m97,
 A_m 1.2 mm; E. 8^h4^m21.

E... Ruhig.

Nr. 226. 23. Oktober 1902:

<> N... B. 9^h52^m69; M_1 9^h53^m67, A_1 1.7 mm;
Max. 9^h55^m08 bis 9^h56^m48, A_m 2.3 mm;
E. 10^h37^m24.

Schwache Unruhe weiter anhaltend.

V... B. 9^h52^m40; M_1 9^h53^m24, A_1 1.0 mm;
Max. 9^h55^m49, A_m 2.8 mm;
E. 10^h15^m17.

Schwache Unruhe folgt.

E... B. 9^h52^m15; M_1 9^h53^m13, A_1 1.0 mm;
Max. 9^h55^m24, A_m 2.5 mm;
E. 10^h14^m22.

Schwache Unruhe folgt.

Nr. 227. 25. Oktober 1902:

> N... B. 22^h46^m33; M_1 22^h47^m02, A_1 4.0 mm;
Max. 22^h49^m20, A_m 6.0 mm;
 M_3 22^h50^m56, A_3 5.4 mm;
 M_4 22^h55^m24, A_4 3.9 mm;
E. 23^h19^m75.

V... B. 22^h45^m49; M_1 22^h46^m73, A_1 1.2 mm;
Max. 22^h48^m23, A_m 4.4 mm;
 M_3 22^h53^m57, A_3 2.0 mm;
E. 23^h19^m46.

Schwache Unruhe dauert noch lange fort.

E... Tagsüber mikroseismische Unruhe.

Nr. 228. 31. Oktober 1902:

<> N... B. 14^h49^m00; eine Reihe schwacher Stöße mit
 A 1.0 mm;

Max. von 15^h2^m19 bis 15^h11^m72, A_m 1.3 mm;

E. 15^h27^m36.

V... Anhaltende leichte Unruhe.

E...

Nr. 229. 2. November 1902:

<> N... B. 20^h42^m09; Max. 20^h46^m59, A_m 1.4 mm;
E. 21^h15^m23.

Schwache Unruhe fortdauernd.

V... B. 20^h41^m80; Max. 20^h45^m48, A_m 1.1 mm;
E. unbestimmbar.

E... B. 20^h41^m14; M_1 20^h42^m78, A_1 2.7 mm;
Max. 20^h44^m69, A_m 2.8 mm;

E. 21^h9^m23.

Schwache Unruhe folgt.

Nr. 230. 4. November 1902:

Beginn wegen Streifenwechsels unbestimmbar; nach Aufspannen des neuen Blattes:

$N...$ M_1 13^h 11^m22, A_1 3·2 mm;
Max. 13^h 16^m80 und 13^h 18^m56, A_m 5·2 mm;
 M_3 13^h 22^m11, A_3 3·9 mm;
 M_4 13^h 31^m22, A_4 4·8 mm;
 M_5 13^h 36^m66, A_5 3·0 mm; E. 14^h 0^m20.

Schwache Unruhe anhaltend.

$V...$ M_1 13^h 11^m65, A_1 2·7 mm;
Max. 13^h 16^m14, A_m 4·0 mm;
 M_3 13^h 22^m54, A_3 2·5 mm;

folgen mehrere kleine Stöße mit A_m 1·3 mm;
E. 13^h 59^m91.

$E...$ Tagsüber mikroseismische Unruhe, zur Zeit der Störung Verdickung der Kurve bis zu 1·5 mm.

Nr. 231. 4. November 1902:

<> $N...$ Zwischen 23^h 44^m38 und 24^h 15^m22 einige fast gleichmäßig starke Anschwellungen mit A_m 1·2 mm.

$V...$ (Zwischen 23^h 27^m85 und 23^h 39^m50 schwache Stöße mit A_m 1·0 mm.)

B. 23^h 43^m96; M_1 23^h 51^m03, A_1 1·2 mm;
Max. 23^h 53^m67, A_m 1·7 mm;
E. 24^h 13^m54.

Schwache Unruhe anhaltend.

$E...$ Tagsüber mikroseismische Unruhe.

Nr. 232. 6. November 1902:

(> $N...$ B. 1^h 33^m04; Max. 1^h 37^m92, A_m 2·8 mm;
E. 2^h 15^m59.

$V...$ B. und E. infolge mikroseismischer Bewegung unbestimmbar;

Max. 1^h 37^m91, A_m 4·0 mm.

$E...$ Fortwährende mikroseismische Unruhe.

Nr. 233. 6. November 1902:

<> $N...$ B. 5^h 48^m10; Max. 5^h 50^m47, A_m 0·9 mm;
E. 5^h 54^m66.

$V...$ B. und E. unbestimmbar;

Max. 5^h 55^m48, A_m 0·9 mm.

$E...$ Kontinuierliche Unruhe.

Nr. 234. 6. November 1902:

<> $N...$ B. 7^h 26^m75; Max. 7^h 33^m73, A_m 1·4 mm;
E. 7^h 43^m21.

$V...$ Ruhig.

$E...$ B. 7^h 26^m21; Max. 7^h 33^m19, A_m 1·4 mm;
E. 7^h 41^m56.

Nr. 235. 6. November 1902:

<> $N...$ B. 8^h 53^m55; Max. 8^h 56^m75, A_m 2·2 mm;
E. 9^h 13^m50.

folgt neue Anschwellung;

Max. 9^h 19^m77 und 9^h 32^m34, A_m 1·7 mm;
E. 10^h 4^m42.

$V...$ Von 8^h 45^m30 bis 9^h 18^m79 mehrere Anschwellungen, A_m 1·2 mm.

$E...$ Anhaltende Unruhe.

Nr. 236. 7. November 1902:

<> $N...$ B. 19^h 57^m73; Max. 20^h 13^m12, A_m 1·6 mm;
E. 20^h 47^m62.

$V...$ Schwache Anschwellungen, A_m 1·0 mm.

$E...$ Anhaltend unruhig.

Nr. 237. 8. November 1902:

N... Von 4^h 43^m 67 bis 4^h 52^m 96 schwache Anschwellung,
 A_m 1.0 mm.

V... Fast ruhig.

E... » »

Nr. 238. 9. November 1902:

(> N... B. 7^h 39^m 91; M_1 7^h 41^m 03, A_1 1.1 mm;
 Max. 7^h 48^m 04, A_m 2.0 mm;
 E. 8^h 21^m 69.

V... B. 7^h 39^m 06; Max. 7^h 47^m 75, A_m 1.8 mm;
 E. 8^h 11^m 59.

E... B. 7^h 39^m 09; Max. 7^h 47^m 50, A_m 1.2 mm;
 E. 8^h 15^m 54.

Nr. 239. 11. November 1902:

<> N... B. 13^h 46^m 48; Max. 13^h 52^m 20 bis 13^h 58^m 75,
 A_m 1.5 mm; E. 14^h 14^m 39.

V... Kontinuierliche Unruhe.

E... » »

Nr. 240. 15. November 1902:

(> N... B. 10^h 43^m 79, M_1 10^h 46^m 38, A_1 2.2 mm;
 M_2 10^h 48^m 30, A_2 3.0 mm;
 M_3 10^h 54^m 15, A_3 2.7 mm;
 Max. 11^h 6^m 82, A_m 3.2 mm;

hierauf eine Reihe schwächerer Stöße mit A 1.2 mm;

E. 11^h 37^m 24.

V... Tagsüber mikro-seismische Unruhe.

E... » »

Nr. 241. 17. November 1902:

(> N... B. 2^h 0^m 44, mikro-seismische Unruhe jedoch voran-
 gehend;

M_1 2^h 3^m 88, A_1 4.5 mm;

Max. 2^h 5^m 82, A_m 4.8 mm;

E. unbestimmbar infolge anhaltender mikro-seis-
 mischer Bewegung.

V... B. 2^h 0^m 97; mikro-seismische Unruhe vorangehend;

Max. 2^h 3^m 87, A_m 2.0 mm; E. wie oben.

E... Kontinuierliche mikro-seismische Unruhe.

Nr. 242. 18. November 1902:

Mikro-seismische Unruhe tagsüber an allen drei Pendeln be-
 merkbar.

(> N... B. 3^h 5^m 70; Max. 3^h 9^m 32, A_m 4.2 mm;
 M_2 3^h 17^m 97, A_2 2.7 mm;

folgen mehrere fast gleich starke Maxima bis
 3^h 28^m 03; E. 3^h 44^m 77.

V... Von 3^h 5^m 27 bis 3^h 29^m 14 mehrere schwächere Stöße;
 Aufzeichnung jedoch undeutlich, A_m zirka 2 mm.

E... Kontinuierliche mikro-seismische Unruhe.

Nr. 243. 21. November 1902:

Infolge Versagens der Gasflamme ist nur das Ende einer
 Störung zu bemerken, welche bei Pendel

N... um 9^h 23^m 95 eine A von 5.0 mm

zeigt; weitere Maxima bei

9^h 25^m 73, A 6.0 mm; 9^h 30^m 91, A 5.0 mm;

9^h 39^m 36, A 3.0 mm; 9^h 55^m 85, A 2.8 mm.

Bei 10^h 17^m 54 ist das Pendel fast zur Ruhe gelangt, es beginnt jedoch eine neue schwache Bewegung mit A_m 1·8 mm; E. unbestimmbar infolge anhaltender mikroseismischer Unruhe.

Nr. 244. 23. November 1902:

> N... B. 21^h 31^m 33; M_1 21^h 32^m 83, A_1 4·0 mm;
Max. 21^h 37^m 06, A_m 9·2 mm;
 M_3 21^h 39^m 94, A_3 9·0 mm;
E. 22^h 11^m 38.

V... B. 21^h 31^m 18; M_1 21^h 32^m 13, A_1 1·2 mm;
 M_2 21^h 34^m 33, A_2 2·9 mm;
Max. 21^h 35^m 55, A_m 4·2 mm;
 M_4 21^h 39^m 08, A_4 3·7 mm;
E. 21^h 57^m 42.

E... B. 21^h 30^m 79; Max. 21^h 33^m 25, A_m 4·8 mm;
E. 21^h 56^m 48.

Nr. 245. 28. November 1902:

(> N... B. 5^h 59^m 49; M_1 6^h 4^m 72, A_1 3·3 mm;
Max. 6^h 8^m 44, A_m 6·0 mm;
 M_3 6^h 16^m 14, A_3 3·0 mm;
E. 6^h 49^m 58.

V... B. und E. wegen andauernder mikroseismischer Unruhe nicht bestimmbar;

Max. 6^h 6^m 64, A_m 2·5 mm.

E... Fortwährende mikroseismische Unruhe.

Nr. 246. 1. Dezember 1902:

N... Von 16^h 26^m 22 bis 17^h 28^m 15 mehrere Anschwellungen;

Max. 16^h 27^m 60, A_m 1·6 mm.

V... Mikroseismisch unruhig.

E...

Nr. 247. 4. Dezember 1902:

<> N... B. 1^h 2^m 00; Max. 1^h 14^m 11 bis 1^h 22^m 04, A_m 1·9 mm;
E. 1^h 53^m 09.

V... Tagsüber mikroseismisch unruhig.

E... Von 1^h 8^m 00 bis 1^h 35^m 84 Anschwellung, A_m 1·2 mm.

Nr. 248. 4. Dezember 1902:

<> N... B. 2^h 5^m 71; Max. 2^h 13^m 69, A_m 1·8 mm;
E. 2^h 35^m 37.

V... Tagsüber mikroseismisch unruhig.

E... Schwache Unruhe.

Nr. 249. 8. Dezember 1902:

(> N... B. 19^h 17^m 99; Max. 19^h 22^m 00, A_m 1·5 mm;
E. bei 20^h.

V... Mikroseismisch bewegt.

E...

Nr. 250. 13. Dezember 1902:

> N... B. 0^h 32^m 54; M_1 0^h 33^m 36, A_1 4·5 mm;
 M_2 0^h 42^m 96, A_2 3·8 mm;
Max. 0^h 55^m 14, A_m 8·0 mm;
 M_4 1^h 8^m 99, A_4 5·0 mm;
 M_5 1^h 22^m 68, A_5 4·5 mm;

folgt eine Reihe schwächerer Stöße mit A_m 2·2 mm;
E. 2^h 6^m 52.

V... B. 0^h 31^m 98; M_1 0^h 32^m 80, A_1 2·3 mm;
Max. 0^h 35^m 66, A_m 3·0 mm;

folgt eine Reihe fast gleich starker Stöße mit
 A 2·0 mm bis 1^h 14^m 17; E. 1^h 56^m 63. Mikro-
seismische Unruhe vor und nach der Störung.

E... Tagsüber mikroseismisch bewegt.

Nr. 251. 13. Dezember 1902:

> N... B. und E. infolge mikroseismischer Bewegungen nicht angebar;

M_1 18^h 26^m 46, A_1 10·0 mm;

M_2 18^h 29^m 20, A_2 8·7 mm;

M_3 18^h 37^m 68, A_3 5·1 mm;

M_4 18^h 48^m 64, A_4 4·8 mm;

Max. 18^h 52^m 63, A_m 11·2 mm;

M_6 18^h 57^m 97, A_6 7·3 mm;

M_7 19^h 5^m 93, A_7 4·0 mm;

M_8 19^h 16^m 12, A_8 3·6 mm;

M_9 19^h 40^m 48, A_9 2·5 mm.

V... Max. 18^h 26^m 71, A_m 9·0 mm;

M_2 18^h 38^m 91, A_2 4·5 mm;

M_3 18^h 54^m 11, A_3 4·4 mm;

M_4 19^h 1^m 25, A_4 3·6 mm;

M_5 19^h 29^m 46, A_5 3·5 mm;

M_6 19^h 42^m 95, A_6 2·5 mm.

E... M_1 18^h 27^m 70, A_1 2·0 mm;

Max. 18^h 32^m 08, A_m 2·2 mm;

M_3 18^h 43^m 73, A_3 1·4 mm.

Nr. 252. 15. Dezember 1902:

> N... B. 4^h 46^m 84; M_1 4^h 48^m 33, A_1 2·6 mm;

Max. 4^h 49^m 28, A_m 4·4 mm;

M_3 4^h 54^m 88, A_3 3·8 mm;

E. 5^h 19^m 43.

Mikroseismische Unruhe folgt.

V... Tagsüber starke mikroseismische Bewegung.

E... Vor- und nachher mikroseismische Unruhe.

B. 4^h 47^m 25; Max. 4^h 48^m 88, A_m 2·4 mm;

E. 5^h 3^m 88.

Nr. 253. 16. Dezember 1902:

(> N... B. 6^h 14^m 27; M_1 6^h 18^m 69, A_1 2·6 mm;

M_2 6^h 22^m 43, A_2 6·0 mm;

M_3 6^h 27^m 67, A_3 10·5 mm;

M_4 6^h 37^m 91, A_4 25·2 mm;

M_5 6^h 41^m 50, A_5 25·2 mm;

M_6 6^h 44^m 55, A_6 10·5 mm;

hierauf bis 7^h 12^m 34 eine Reihe fast gleich starker Stöße mit A_m 8·0 mm; folgt eine Zunahme der Bewegung, worunter:

M_7 7^h 19^m 11, A_7 19·0 mm;

hierauf Abnahme mit

M_8 7^h 30^m 44, A_8 5·8 mm;

M_9 7^h 43^m 58, A_9 2·5 mm;

E. unbestimmbar.

V... Tagsüber starke mikroseismische Bewegung. Zu entnehmen wären nachfolgende Maxima der seismischen Störung:

M_1 6^h 27^m 38, A_1 9·5 mm;

M_2 6^h 34^m 43, A_2 2·0 mm;

M_3 6^h 40^m 11, A_3 8·5 mm;

Max. 6^h 49^m 79, A_m 11·5 mm;

M_5 6^h 58^m 36, A_5 8·2 mm;

M_6 7^h 6^m 38, A_6 9·0 mm;

M_7 7^h 18^m 82, A_7 4·5 mm.

E... B. unbestimmbar; M_1 6^h 17^m 88, A_1 2·1 mm;

M_2 6^h 22^m 44, A_2 2·8 mm;

Max. 6^h 32^m 80, A_m 5·4 mm;

M_4 6^h 42^m 91, A_4 4·0 mm;

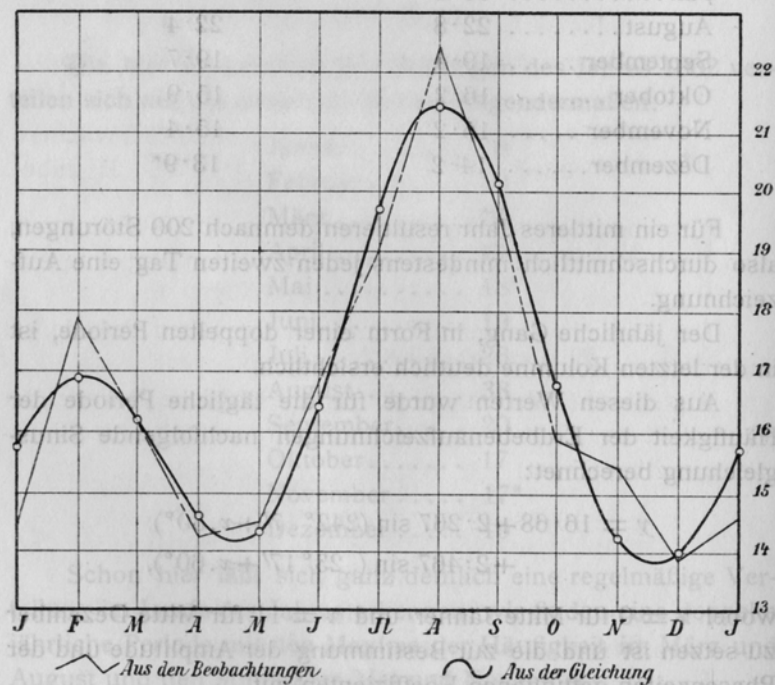
M_5 7^h 6^m 13, A_5 2·2 mm;

E. 7^h 44^m 84.

$a_1 = -2.004,$ $a_2 = +0.975,$
 $b_1 = -1.060,$ $b_2 = +2.266$
 resultieren.

Der aus dieser Gleichung berechnete jährliche Gang ist nachfolgender:

Jänner	15.65	-1.03
Februar	16.87	+0.19
März	16.23	-0.45
April	14.64	-2.04
Mai	14.31*	-2.37*
Juni	16.41	-0.27
Juli	19.66	+2.98
August	21.40	+4.72
September	20.07	+3.39
Oktober	16.77	+0.09
November	14.15	-2.53
Dezember	14.00*	-2.68*



In der Textfigur sind die zuerst erhaltenen Werte für Monate gleicher Länge gestrichelt und die aus der obigen Gleichung bestimmten durch die ganz ausgezogene Kurve dargestellt.

Die Maxima fallen auf den Februar und August, die Minima auf den Mai und Dezember. Das Frequenzmaximum des August ist bedeutend größer als das des Februar, 21 gegen 17 Störungen.

Die »Mitteilungen der Erdbeben-Kommission« erschienen bisher in den Sitzungsberichten der mathem.-naturw. Klasse, Abteilung I. Von nun an werden sie als besondere Ausgabe veröffentlicht werden.

Bisher sind folgende Nummern der »Mitteilungen« ausgegeben worden:

- I. Bericht über die Organisation der Erdbeben-Beobachtung nebst Mitteilungen über während des Jahres 1896 erfolgte Erdbeben, zusammengestellt von Edmund v. Mojsisovics (Sitz. Ber., Bd. 106 [1897], Abt. I, Heft II) — K 60 h.
- II. Bericht über das Erdbeben von Brüx am 3. November 1896, von Friedrich Becke (Sitz. Ber., Bd. 106 [1897], Abt. I, Heft II) — K 50 h.
- III. Bericht über das Erdbeben vom 5. Jänner 1897 im südlichen Böhmerwalde, von Friedrich Becke (Sitz. Ber., Bd. 106 [1897], Abt. I, Heft III) — K 40 h.
- IV. Bericht über die im Triester Gebiete beobachteten Erdbeben am 15. Juli, 3. August und 21. September 1897, von Eduard Mazelle (Sitz. Ber., Bd. 106 [1897], Abt. I, Heft IX) — K 40 h.
- V. Allgemeiner Bericht und Chronik der im Jahre 1897 innerhalb des Beobachtungsgebietes erfolgten Erdbeben, zusammengestellt von Edmund v. Mojsisovics (Sitz. Ber., Bd. 107 [1898], Abt. I, Heft V) 3 K 40 h.
- VI. Die Erderschütterungen Laibachs in den Jahren 1851 bis 1886, vorwiegend nach den handschriftlichen Aufzeichnungen K. Deschmanns, von Ferdinand Seidl (Sitz. Ber., Bd. 107 [1898], Abt. I, Heft VI) — K 50 h.
- VII. Verhalten der Karlsbader Thermen während des voigtländisch-westböhmisches Erdbebens im Oktober—November 1897, von Josef Knett (Sitz. Ber., Bd. 107 [1898], Abt. I, Heft VI) 2 K 60 h.
- VIII. Bericht über das Graslitzer Erdbeben vom 24. Oktober bis 25. November 1897, von Friedrich Becke (Sitz. Ber., Bd. 107 [1898], Abt. I, Heft VII) 5 K 40 h.
- IX. Bericht über die unterirdische Detonation von Melnik in Böhmen vom 8. April 1898, von Johann N. Woldfich (Sitz. Ber., Bd. 107 [1898], Abt. I, Heft X) — K 90 h.
- X. Allgemeiner Bericht und Chronik der im Jahre 1898 innerhalb des Beobachtungsgebietes erfolgten Erdbeben, zusammengestellt von Edmund v. Mojsisovics (Sitz. Ber., Bd. 108 [1899], Abt. I, Heft IV) 3 K 20 h.
- XI. Die Einrichtung der seismischen Station in Triest und die vom Horizontalpendel aufgezeichneten Erdbebenstörungen von Ende August 1898 bis Ende Februar 1899, von Eduard Mazelle (Sitz. Ber., Bd. 108 [1899], Abt. I, Heft V) 1 K — h.
- XII. Übersicht der Laibacher Osterbebenperiode für die Zeit vom 16. April 1895 bis Ende Dezember 1898, von Ferdinand Seidl (Sitz. Ber., Bd. 108 [1899], Abt. I, Heft V) — K 70 h.
- XIII. Bericht über das obersteierische Beben vom 27. November 1898, von Rudolf Hoernes (Sitz. Ber., Bd. 108 [1899], Abt. I, Heft V) 1 K 10 h.
- XIV. Bericht über die obersteierischen Beben des ersten Halbjahres 1899 (zumal über die Erschütterungen vom 1., 7. und 29. April), von Rudolf Hoernes (Sitz. Ber., Bd. 108 [1899], Abt. I, Heft VIII) 2 K 10 h.
- XV. Bericht über Erdbebenbeobachtungen in Kremsmünster, von Franz Schwab (Sitz. Ber., Bd. 109 [1900], Abt. I, Heft II) 1 K 10 h.
- XVI. Bericht über das niederösterreichische Beben vom 11. Juni 1899, von F. Noë (Sitz. Ber., Bd. 109 [1900], Abt. I, Heft II) — K 60 h.

- XVII. Erdbebenstörungen zu Triest, beobachtet am Rebeur-Ehler'schen Horizontalpendel vom 1. März bis Ende Dezember 1899, von Eduard Mazelle (Sitz. Ber., Bd. 109 [1900], Abt. I, Heft II) — K 90 h.
- XVIII. Allgemeiner Bericht und Chronik der im Jahre 1899 innerhalb des Beobachtungsgebietes erfolgten Erdbeben, zusammengestellt von Edmund v. Mojsisovics (Sitz. Ber., Bd. 109 [1900], Abt. I, Heft III) 3 K 30 h.
- XIX. Die tägliche periodische Schwankung des Erdbodens nach den Aufzeichnungen eines dreifachen Horizontalpendels zu Triest, von Eduard Mazelle (Sitz. Ber., Bd. 109 [1900], Abt. I, Heft VII) 3 K 20 h.
- XX. Über die Beziehungen zwischen Erdbeben und Detonationen, von Josef Knett (Sitz. Ber., Bd. 109 [1900], Abt. I, Heft IX) — K 80 h.
- XXI. Bericht über das Detonationsphänomen im Duppauer Gebirge am 14. August 1899, von Josef Knett (Sitz. Ber., Bd. 109 [1900], Abt. I, Heft IX) 1 K — h.

Neue Folge.

- I. Bericht über die Erdbebenbeobachtungen in Lemberg, von W. Láska 1 K 90 h.
- II. Allgemeiner Bericht und Chronik der im Jahre 1900 im Beobachtungsgebiete eingetretenen Erdbeben, von Edmund v. Mojsisovics 2 K 30 h.
- III. Bericht über die seismischen Ereignisse des Jahres 1900 in den deutschen Gebieten Böhmens, von V. Uhlig 2 K 50 h.
- IV. Bericht über die Erdbebenbeobachtungen in Kremsmünster im Jahre 1900, von P. Franz Schwab — K 60 h.
- V. Erdbebenstörungen zu Triest, beobachtet am Rebeur-Ehler'schen Horizontalpendel im Jahre 1900, von Eduard Mazelle 1 K — h.
- VI. Das nordostböhmisches Erdbeben vom 10. Jänner 1901, von J. N. Woldřich 1 K 60 h.
- VII. Erdbeben und Stoßlinien Steiermarks, von R. Hoernes 2 K 10 h.
- VIII. Die Erdbeben Polens. Des historischen Teiles I. Abteilung, von W. Láska — K 80 h.
- IX. Bericht über die Erdbeben-Beobachtungen in Lemberg während des Jahres 1901, von Prof. Dr. W. Láska 1 K 10 h.
- X. Allgemeiner Bericht und Chronik der im Jahre 1901 innerhalb des Beobachtungsgebietes erfolgten Erdbeben von Edmund v. Mojsisovics 1 K 10 h.
- XI. Erdbebenstörungen zu Triest, beobachtet am Rebeur-Ehler'schen Horizontalpendel im Jahre 1901, nebst einem Anhang über die Aufstellung des Vicentini'schen Mikroseismographen, von Eduard Mazelle 1 K 20 h.
- XII. Bericht über die Erdbebenbeobachtungen in Kremsmünster im Jahre 1901, von Prof. P. Franz Schwab — K 40 h.
- XIII. Das Erdbeben von Saloniki am 5. Juli 1902 und der Zusammenhang der makedonischen Beben mit den tektonischen Vorgängen in der Rhodopemasse, von R. Hoernes 2 K — h.
- XIV. Über die Berechnung der Fernbeben, von Prof. Dr. W. Láska — K 30 h.
- XV. Die mikroseismische Pendelunruhe und ihr Zusammenhang mit Wind und Luftdruck, von Eduard Mazelle 2 K 60 h.
- XVI. Vorläufiger Bericht über das erzgebirgische Schwarmbeben vom 13. Februar bis 25. März 1903, mit einem Anhang über die Nacherschütterungen bis Anfang Mai, von J. Knett — K 80 h.
- XVII. Das Erdbeben von Sinj am 2. Juli 1898, von Adolf Faidiga 2 K 90 h.
- XVIII. Das Erdbeben am Böhmischem Pfahl, von J. Knett — K 80 h.
- XIX. Allgemeiner Bericht und Chronik der im Jahre 1902 im Beobachtungsgebiete eingetretenen Erdbeben, von Edmund v. Mojsisovics. (Mit einem Anhang: Bericht über die Aufstellung zweier Seismographen in Přibram, von Dr. Hans Benndorf.) 2 K 60 h.